

Limites de espaços-tempo

Marcos Agnoletto Forte

<https://sites.google.com/view/marcos-agnoletto/home>

2023

Universidade Federal do ABC (UFABC)
Centro de Matemática, Computação e Cognição (CMCC)

This study was financed in part by the Coordenação de Aperfeiçoamento de Pessoal de Nível Superior – Brasil (CAPES) – Finance Code 88887.667684/2022-00



Sumário

- 1 Motivação
- 2 O limite sobre as componentes da métrica
 - Introdução
 - A métrica de Schwarzschild
 - A métrica de Reissner-Nordström
 - A métrica de Kerr
- 3 Limites de espaços-tempo por Geroch
 - A definição de limite de espaços-tempo por Geroch
 - Hereditariedade
- 4 Um exemplo
 - O espaço de Anti-De Sitter
 - Um mergulho no espaço de Anti-De Sitter
 - A métrica de Reissner-Nordström
- 5 Bibliografia

Motivação

Motivação

Equação de Einstein

$$R_{\mu\nu} - \frac{1}{2}Rg_{\mu\nu} = \kappa T_{\mu\nu}$$

- $R_{\mu\nu}$ - Tensor curvatura de Ricci.
- R - Curvatura escalar.
- $g_{\mu\nu}$ - Tensor métrico.
- κ - Constante gravitacional de Einstein.
- $T_{\mu\nu}$ - Tensor energia-momento.

Tensor energia-momento eletromagnético

$$T_{\mu\nu} = F_{\mu\rho}F_{\nu}{}^{\rho} - \frac{1}{4}g_{\mu\nu}F_{\rho\sigma}F^{\rho\sigma}$$

- $F_{\mu\nu}$ - Tensor eletromagnético.

Equação de Einstein

$$R_{\mu\nu} - \frac{1}{2}Rg_{\mu\nu} = \kappa T_{\mu\nu}$$

- $R_{\mu\nu}$ - Tensor curvatura de Ricci.
- R - Curvatura escalar.
- $g_{\mu\nu}$ - Tensor métrico.
- κ - Constante gravitacional de Einstein.
- $T_{\mu\nu}$ - Tensor energia-momento.

Tensor energia-momento eletromagnético

$$T_{\mu\nu} = F_{\mu\rho}F_{\nu}{}^{\rho} - \frac{1}{4}g_{\mu\nu}F_{\rho\sigma}F^{\rho\sigma}$$

- $F_{\mu\nu}$ - Tensor eletromagnético.

Motivação

Equação de Einstein

$$R_{\mu\nu} - \frac{1}{2}Rg_{\mu\nu} = \kappa T_{\mu\nu}$$

- $R_{\mu\nu}$ - Tensor curvatura de Ricci.
- R - Curvatura escalar.
- $g_{\mu\nu}$ - Tensor métrico.
- κ - Constante gravitacional de Einstein.
- $T_{\mu\nu}$ - Tensor energia-momento.

Tensor energia-momento eletromagnético

$$T_{\mu\nu} = F_{\mu\rho}F_{\nu}{}^{\rho} - \frac{1}{4}g_{\mu\nu}F_{\rho\sigma}F^{\rho\sigma}$$

- $F_{\mu\nu}$ - Tensor eletromagnético.

Motivação

Equação de Einstein

$$R_{\mu\nu} - \frac{1}{2}Rg_{\mu\nu} = \kappa T_{\mu\nu}$$

- $R_{\mu\nu}$ - Tensor curvatura de Ricci.
- R - Curvatura escalar.
- $g_{\mu\nu}$ - Tensor métrico.
- κ - Constante gravitacional de Einstein.
- $T_{\mu\nu}$ - Tensor energia-momento.

Tensor energia-momento eletromagnético

$$T_{\mu\nu} = F_{\mu\rho}F_{\nu}{}^{\rho} - \frac{1}{4}g_{\mu\nu}F_{\rho\sigma}F^{\rho\sigma}$$

- $F_{\mu\nu}$ - Tensor eletromagnético.

Motivação

Equação de Einstein

$$R_{\mu\nu} - \frac{1}{2}Rg_{\mu\nu} = \kappa T_{\mu\nu}$$

- $R_{\mu\nu}$ - Tensor curvatura de Ricci.
- R - Curvatura escalar.
- $g_{\mu\nu}$ - Tensor métrico.
- κ - Constante gravitacional de Einstein.
- $T_{\mu\nu}$ - Tensor energia-momento.

Tensor energia-momento eletromagnético

$$T_{\mu\nu} = F_{\mu\rho}F_{\nu}{}^{\rho} - \frac{1}{4}g_{\mu\nu}F_{\rho\sigma}F^{\rho\sigma}$$

- $F_{\mu\nu}$ - Tensor eletromagnético.

Motivação

Equação de Einstein

$$R_{\mu\nu} - \frac{1}{2}Rg_{\mu\nu} = \kappa T_{\mu\nu}$$

- $R_{\mu\nu}$ - Tensor curvatura de Ricci.
- R - Curvatura escalar.
- $g_{\mu\nu}$ - Tensor métrico.
- κ - Constante gravitacional de Einstein.
- $T_{\mu\nu}$ - Tensor energia-momento.

Tensor energia-momento eletromagnético

$$T_{\mu\nu} = F_{\mu\rho}F_{\nu}{}^{\rho} - \frac{1}{4}g_{\mu\nu}F_{\rho\sigma}F^{\rho\sigma}$$

- $F_{\mu\nu}$ - Tensor eletromagnético.

Motivação

Equação de Einstein

$$R_{\mu\nu} - \frac{1}{2}Rg_{\mu\nu} = \kappa T_{\mu\nu}$$

- $R_{\mu\nu}$ - Tensor curvatura de Ricci.
- R - Curvatura escalar.
- $g_{\mu\nu}$ - Tensor métrico.
- κ - Constante gravitacional de Einstein.
- $T_{\mu\nu}$ - Tensor energia-momento.

Tensor energia-momento eletromagnético

$$T_{\mu\nu} = F_{\mu\rho}F_{\nu}{}^{\rho} - \frac{1}{4}g_{\mu\nu}F_{\rho\sigma}F^{\rho\sigma}$$

- $F_{\mu\nu}$ - Tensor eletromagnético.

O limite sobre as componentes da métrica

O limite sobre as componentes da métrica

- Introdução

M uma variedade de dimensão 4, conexa e de Hausdorff.

$g(\alpha)$ uma métrica a 1-parâmetro ($\alpha > 0$) de classe \mathcal{C}^∞ em M com assinatura $(-, +, +, +)$ dada por

$$g(\alpha) = g_{\mu\nu}(\alpha) dx^\mu dx^\nu,$$

onde $g_{\mu\nu}(\alpha)$ são as componentes da métrica g na carta $x : U \subset \mathbb{R}^4 \rightarrow x(U) \subset M$.
Como descrever a métrica para um valor específico $\alpha_0 > 0$?

$$g(\alpha_0) \stackrel{\text{def}}{=} \lim_{\alpha \downarrow \alpha_0} g(\alpha) \stackrel{\text{def}}{=} g_{\mu\nu}(\alpha_0) dx^\mu dx^\nu,$$

onde $g_{\mu\nu}(\alpha_0) \stackrel{\text{def}}{=} \lim_{\alpha \downarrow \alpha_0} g_{\mu\nu}(\alpha)$.

Essa solução é de alguma maneira invariante por mudanças de cartas?

Para responder esta pergunta consideremos alguns exemplos.

O limite sobre as componentes da métrica

- Introdução

M uma variedade de dimensão 4, conexa e de Hausdorff.

$g(\alpha)$ uma métrica a 1-parâmetro ($\alpha > 0$) de classe \mathcal{C}^∞ em M com assinatura $(-, +, +, +)$ dada por

$$g(\alpha) = g_{\mu\nu}(\alpha) dx^\mu dx^\nu,$$

onde $g_{\mu\nu}(\alpha)$ são as componentes da métrica g na carta $x : U \subset \mathbb{R}^4 \rightarrow x(U) \subset M$.
Como descrever a métrica para um valor específico $\alpha_0 > 0$?

$$g(\alpha_0) \stackrel{\text{def}}{=} \lim_{\alpha \downarrow \alpha_0} g(\alpha) \stackrel{\text{def}}{=} g_{\mu\nu}(\alpha_0) dx^\mu dx^\nu,$$

onde $g_{\mu\nu}(\alpha_0) \stackrel{\text{def}}{=} \lim_{\alpha \downarrow \alpha_0} g_{\mu\nu}(\alpha)$.

Essa solução é de alguma maneira invariante por mudanças de cartas?
Para responder esta pergunta consideremos alguns exemplos.

O limite sobre as componentes da métrica

- Introdução

M uma variedade de dimensão 4, conexa e de Hausdorff.

$g(\alpha)$ uma métrica a 1-parâmetro ($\alpha > 0$) de classe \mathcal{C}^∞ em M com assinatura $(-, +, +, +)$ dada por

$$g(\alpha) = g_{\mu\nu}(\alpha) dx^\mu dx^\nu,$$

onde $g_{\mu\nu}(\alpha)$ são as componentes da métrica g na carta $x : U \subset \mathbb{R}^4 \rightarrow x(U) \subset M$.
Como descrever a métrica para um valor específico $\alpha_0 > 0$?

$$g(\alpha_0) \stackrel{\text{def}}{=} \lim_{\alpha \downarrow \alpha_0} g(\alpha) \stackrel{\text{def}}{=} g_{\mu\nu}(\alpha_0) dx^\mu dx^\nu,$$

onde $g_{\mu\nu}(\alpha_0) \stackrel{\text{def}}{=} \lim_{\alpha \downarrow \alpha_0} g_{\mu\nu}(\alpha)$.

Essa solução é de alguma maneira invariante por mudanças de cartas?

Para responder esta pergunta consideremos alguns exemplos.

O limite sobre as componentes da métrica

- Introdução

M uma variedade de dimensão 4, conexa e de Hausdorff.

$g(\alpha)$ uma métrica a 1-parâmetro ($\alpha > 0$) de classe \mathcal{C}^∞ em M com assinatura $(-, +, +, +)$ dada por

$$g(\alpha) = g_{\mu\nu}(\alpha) dx^\mu dx^\nu,$$

onde $g_{\mu\nu}(\alpha)$ são as componentes da métrica g na carta $x : U \subset \mathbb{R}^4 \rightarrow x(U) \subset M$.
Como descrever a métrica para um valor específico $\alpha_0 > 0$?

$$g(\alpha_0) \stackrel{\text{def}}{=} \lim_{\alpha \downarrow \alpha_0} g(\alpha) \stackrel{\text{def}}{=} g_{\mu\nu}(\alpha_0) dx^\mu dx^\nu,$$

onde $g_{\mu\nu}(\alpha_0) \stackrel{\text{def}}{=} \lim_{\alpha \downarrow \alpha_0} g_{\mu\nu}(\alpha)$.

Essa solução é de alguma maneira invariante por mudanças de cartas?

Para responder esta pergunta consideremos alguns exemplos.

O limite sobre as componentes da métrica

- Introdução

M uma variedade de dimensão 4, conexa e de Hausdorff.

$g(\alpha)$ uma métrica a 1-parâmetro ($\alpha > 0$) de classe \mathcal{C}^∞ em M com assinatura $(-, +, +, +)$ dada por

$$g(\alpha) = g_{\mu\nu}(\alpha) dx^\mu dx^\nu,$$

onde $g_{\mu\nu}(\alpha)$ são as componentes da métrica g na carta $x : U \subset \mathbb{R}^4 \rightarrow x(U) \subset M$.

Como descrever a métrica para um valor específico $\alpha_0 > 0$?

$$g(\alpha_0) \stackrel{\text{def}}{=} \lim_{\alpha \downarrow \alpha_0} g(\alpha) \stackrel{\text{def}}{=} g_{\mu\nu}(\alpha_0) dx^\mu dx^\nu,$$

onde $g_{\mu\nu}(\alpha_0) \stackrel{\text{def}}{=} \lim_{\alpha \downarrow \alpha_0} g_{\mu\nu}(\alpha)$.

Essa solução é de alguma maneira invariante por mudanças de cartas?

Para responder esta pergunta consideremos alguns exemplos.

O limite sobre as componentes da métrica

- Introdução

M uma variedade de dimensão 4, conexa e de Hausdorff.

$g(\alpha)$ uma métrica a 1-parâmetro ($\alpha > 0$) de classe \mathcal{C}^∞ em M com assinatura $(-, +, +, +)$ dada por

$$g(\alpha) = g_{\mu\nu}(\alpha) dx^\mu dx^\nu,$$

onde $g_{\mu\nu}(\alpha)$ são as componentes da métrica g na carta $x : U \subset \mathbb{R}^4 \rightarrow x(U) \subset M$.

Como descrever a métrica para um valor específico $\alpha_0 > 0$?

$$g(\alpha_0) \stackrel{\text{def}}{=} \lim_{\alpha \downarrow \alpha_0} g(\alpha) \stackrel{\text{def}}{=} g_{\mu\nu}(\alpha_0) dx^\mu dx^\nu,$$

onde $g_{\mu\nu}(\alpha_0) \stackrel{\text{def}}{=} \lim_{\alpha \downarrow \alpha_0} g_{\mu\nu}(\alpha)$.

Essa solução é de alguma maneira invariante por mudanças de cartas?

Para responder esta pergunta consideremos alguns exemplos.

O limite sobre as componentes da métrica

- Introdução

M uma variedade de dimensão 4, conexa e de Hausdorff.

$g(\alpha)$ uma métrica a 1-parâmetro ($\alpha > 0$) de classe \mathcal{C}^∞ em M com assinatura $(-, +, +, +)$ dada por

$$g(\alpha) = g_{\mu\nu}(\alpha) dx^\mu dx^\nu,$$

onde $g_{\mu\nu}(\alpha)$ são as componentes da métrica g na carta $x : U \subset \mathbb{R}^4 \rightarrow x(U) \subset M$.

Como descrever a métrica para um valor específico $\alpha_0 > 0$?

$$g(\alpha_0) \stackrel{\text{def}}{=} \lim_{\alpha \downarrow \alpha_0} g(\alpha) \stackrel{\text{def}}{=} g_{\mu\nu}(\alpha_0) dx^\mu dx^\nu,$$

onde $g_{\mu\nu}(\alpha_0) \stackrel{\text{def}}{=} \lim_{\alpha \downarrow \alpha_0} g_{\mu\nu}(\alpha)$.

Essa solução é de alguma maneira invariante por mudanças de cartas?

Para responder esta pergunta consideremos alguns exemplos.

O limite sobre as componentes da métrica

- Introdução

M uma variedade de dimensão 4, conexa e de Hausdorff.

$g(\alpha)$ uma métrica a 1-parâmetro ($\alpha > 0$) de classe \mathcal{C}^∞ em M com assinatura $(-, +, +, +)$ dada por

$$g(\alpha) = g_{\mu\nu}(\alpha) dx^\mu dx^\nu,$$

onde $g_{\mu\nu}(\alpha)$ são as componentes da métrica g na carta $x : U \subset \mathbb{R}^4 \rightarrow x(U) \subset M$.

Como descrever a métrica para um valor específico $\alpha_0 > 0$?

$$g(\alpha_0) \stackrel{\text{def}}{=} \lim_{\alpha \downarrow \alpha_0} g(\alpha) \stackrel{\text{def}}{=} g_{\mu\nu}(\alpha_0) dx^\mu dx^\nu,$$

onde $g_{\mu\nu}(\alpha_0) \stackrel{\text{def}}{=} \lim_{\alpha \downarrow \alpha_0} g_{\mu\nu}(\alpha)$.

Essa solução é de alguma maneira invariante por mudanças de cartas?

Para responder esta pergunta consideremos alguns exemplos.

O limite sobre as componentes da métrica

- Introdução

M uma variedade de dimensão 4, conexa e de Hausdorff.

$g(\alpha)$ uma métrica a 1-parâmetro ($\alpha > 0$) de classe \mathcal{C}^∞ em M com assinatura $(-, +, +, +)$ dada por

$$g(\alpha) = g_{\mu\nu}(\alpha) dx^\mu dx^\nu,$$

onde $g_{\mu\nu}(\alpha)$ são as componentes da métrica g na carta $x : U \subset \mathbb{R}^4 \rightarrow x(U) \subset M$.

Como descrever a métrica para um valor específico $\alpha_0 > 0$?

$$g(\alpha_0) \stackrel{\text{def}}{=} \lim_{\alpha \downarrow \alpha_0} g(\alpha) \stackrel{\text{def}}{=} g_{\mu\nu}(\alpha_0) dx^\mu dx^\nu,$$

onde $g_{\mu\nu}(\alpha_0) \stackrel{\text{def}}{=} \lim_{\alpha \downarrow \alpha_0} g_{\mu\nu}(\alpha)$.

Essa solução é de alguma maneira invariante por mudanças de cartas?

Para responder esta pergunta consideremos alguns exemplos.

O limite sobre as componentes da métrica

- Introdução

M uma variedade de dimensão 4, conexa e de Hausdorff.

$g(\alpha)$ uma métrica a 1-parâmetro ($\alpha > 0$) de classe \mathcal{C}^∞ em M com assinatura $(-, +, +, +)$ dada por

$$g(\alpha) = g_{\mu\nu}(\alpha) dx^\mu dx^\nu,$$

onde $g_{\mu\nu}(\alpha)$ são as componentes da métrica g na carta $x : U \subset \mathbb{R}^4 \rightarrow x(U) \subset M$.

Como descrever a métrica para um valor específico $\alpha_0 > 0$?

$$g(\alpha_0) \stackrel{\text{def}}{=} \lim_{\alpha \downarrow \alpha_0} g(\alpha) \stackrel{\text{def}}{=} g_{\mu\nu}(\alpha_0) dx^\mu dx^\nu,$$

onde $g_{\mu\nu}(\alpha_0) \stackrel{\text{def}}{=} \lim_{\alpha \downarrow \alpha_0} g_{\mu\nu}(\alpha)$.

Essa solução é de alguma maneira invariante por mudanças de cartas?

Para responder esta pergunta consideremos alguns exemplos.

O limite sobre as componentes da métrica

- A métrica de Schwarzschild

Considere a família de métricas $g(\lambda)$ a 1-parâmetro ($\lambda > 0$) dada por

$$g(\lambda) = - \left(1 - \frac{2}{\lambda^3 r} \right) dt^2 + \left(1 - \frac{2}{\lambda^3 r} \right)^{-1} dr^2 + r^2 d\theta^2 + r^2 \sin^2(\theta) d\phi^2,$$

Note que $g\left(\frac{1}{\sqrt[3]{m}}\right)$, onde $m > 0$, é a métrica de Schwarzschild.

Além disso, $\lim_{\lambda \downarrow 0} g(\lambda)$ “diverge”.

O limite sobre as componentes da métrica

- A métrica de Schwarzschild

Considere a família de métricas $g(\lambda)$ a 1-parâmetro ($\lambda > 0$) dada por

$$g(\lambda) = - \left(1 - \frac{2}{\lambda^3 r} \right) dt^2 + \left(1 - \frac{2}{\lambda^3 r} \right)^{-1} dr^2 + r^2 d\theta^2 + r^2 \sin^2(\theta) d\phi^2,$$

Note que $g\left(\frac{1}{\sqrt[3]{m}}\right)$, onde $m > 0$, é a métrica de Schwarzschild.

Além disso, $\lim_{\lambda \downarrow 0} g(\lambda)$ “diverge”.

O limite sobre as componentes da métrica

- A métrica de Schwarzschild

Considere a família de métricas $g(\lambda)$ a 1-parâmetro ($\lambda > 0$) dada por

$$g(\lambda) = - \left(1 - \frac{2}{\lambda^3 r} \right) dt^2 + \left(1 - \frac{2}{\lambda^3 r} \right)^{-1} dr^2 + r^2 d\theta^2 + r^2 \sin^2(\theta) d\phi^2,$$

Note que $g\left(\frac{1}{\sqrt[3]{m}}\right)$, onde $m > 0$, é a métrica de Schwarzschild.

Além disso, $\lim_{\lambda \downarrow 0} g(\lambda)$ “diverge”.

O limite sobre as componentes da métrica

- A métrica de Schwarzschild

Considere a família de métricas $g(\lambda)$ a 1-parâmetro ($\lambda > 0$) dada por

$$g(\lambda) = - \left(1 - \frac{2}{\lambda^3 r} \right) dt^2 + \left(1 - \frac{2}{\lambda^3 r} \right)^{-1} dr^2 + r^2 d\theta^2 + r^2 \sin^2(\theta) d\phi^2,$$

Note que $g\left(\frac{1}{\sqrt[3]{m}}\right)$, onde $m > 0$, é a métrica de Schwarzschild.

Além disso, $\lim_{\lambda \downarrow 0} g(\lambda)$ “diverge”.

O limite sobre as componentes da métrica

- A métrica de Schwarzschild

Considere a família de métricas $g(\lambda)$ a 1-parâmetro ($\lambda > 0$) dada por

$$g(\lambda) = - \left(1 - \frac{2}{\lambda^3 r} \right) dt^2 + \left(1 - \frac{2}{\lambda^3 r} \right)^{-1} dr^2 + r^2 d\theta^2 + r^2 \sin^2(\theta) d\phi^2,$$

Note que $g\left(\frac{1}{\sqrt[3]{m}}\right)$, onde $m > 0$, é a métrica de Schwarzschild.

Além disso, $\lim_{\lambda \downarrow 0} g(\lambda)$ “diverge”.

O limite sobre as componentes da métrica

Considere a seguinte mudança de coordenadas:

$$\hat{\Phi} : \begin{cases} \hat{t} &= \frac{1}{\lambda} t \\ \hat{r} &= \lambda r \end{cases} \quad \begin{cases} \hat{\theta} &= \frac{1}{\lambda} \theta \\ \hat{\phi} &= \phi \end{cases}$$

Neste sistema de coordenadas $g(\lambda)$ é dada por

$$\hat{g}(\lambda) = - \left(\lambda^2 - \frac{2}{\hat{r}} \right) d\hat{t}^2 + \left(\lambda^2 - \frac{2}{\hat{r}} \right)^{-1} d\hat{r}^2 + \hat{r}^2 d\hat{\theta}^2 + \left(\frac{\hat{r} \sin(\lambda \hat{\theta})}{\lambda} \right)^2 d\hat{\phi}^2.$$

Donde temos que $\hat{g}(0) = \frac{2}{\hat{r}} d\hat{t}^2 - \frac{\hat{r}}{2} d\hat{r}^2 + \hat{r}^2 d\hat{\theta}^2 + \hat{r}^2 \hat{\theta}^2 d\hat{\phi}^2$ é uma solução no vácuo não-plana originalmente descoberta por Edward Kasner [Kas21].

O limite sobre as componentes da métrica

Considere a seguinte mudança de coordenadas:

$$\widehat{\Phi} : \begin{cases} \widehat{t} &= \frac{1}{\lambda} t \\ \widehat{r} &= \lambda r \end{cases} \quad \begin{cases} \widehat{\theta} &= \frac{1}{\lambda} \theta \\ \widehat{\phi} &= \phi \end{cases}$$

Neste sistema de coordenadas $g(\lambda)$ é dada por

$$\widehat{g}(\lambda) = - \left(\lambda^2 - \frac{2}{\widehat{r}} \right) d\widehat{t}^2 + \left(\lambda^2 - \frac{2}{\widehat{r}} \right)^{-1} d\widehat{r}^2 + \widehat{r}^2 d\widehat{\theta}^2 + \left(\frac{\widehat{r} \sin(\lambda \widehat{\theta})}{\lambda} \right)^2 d\widehat{\phi}^2.$$

Donde temos que $\widehat{g}(0) = \frac{2}{\widehat{r}} d\widehat{t}^2 - \frac{\widehat{r}}{2} d\widehat{r}^2 + \widehat{r}^2 d\widehat{\theta}^2 + \widehat{r}^2 \widehat{\theta}^2 d\widehat{\phi}^2$ é uma solução no vácuo não-plana originalmente descoberta por Edward Kasner [Kas21].

O limite sobre as componentes da métrica

Considere a seguinte mudança de coordenadas:

$$\hat{\Phi} : \begin{cases} \hat{t} = \frac{1}{\lambda} t \\ \hat{r} = \lambda r \end{cases} \quad \begin{cases} \hat{\theta} = \frac{1}{\lambda} \theta \\ \hat{\phi} = \phi \end{cases}$$

Neste sistema de coordenadas $g(\lambda)$ é dada por

$$\hat{g}(\lambda) = - \left(\lambda^2 - \frac{2}{\hat{r}} \right) d\hat{t}^2 + \left(\lambda^2 - \frac{2}{\hat{r}} \right)^{-1} d\hat{r}^2 + \hat{r}^2 d\hat{\theta}^2 + \left(\frac{\hat{r} \sin(\lambda \hat{\theta})}{\lambda} \right)^2 d\hat{\phi}^2.$$

Donde temos que $\hat{g}(0) = \frac{2}{\hat{r}} d\hat{t}^2 - \frac{\hat{r}}{2} d\hat{r}^2 + \hat{r}^2 d\hat{\theta}^2 + \hat{r}^2 \hat{\theta}^2 d\hat{\phi}^2$ é uma solução no vácuo não-plana originalmente descoberta por Edward Kasner [Kas21].

O limite sobre as componentes da métrica

Considere a seguinte mudança de coordenadas:

$$\hat{\Phi} : \begin{cases} \hat{t} = \frac{1}{\lambda} t \\ \hat{r} = \lambda r \end{cases} \quad \begin{cases} \hat{\theta} = \frac{1}{\lambda} \theta \\ \hat{\phi} = \phi \end{cases}$$

Neste sistema de coordenadas $g(\lambda)$ é dada por

$$\hat{g}(\lambda) = - \left(\lambda^2 - \frac{2}{\hat{r}} \right) d\hat{t}^2 + \left(\lambda^2 - \frac{2}{\hat{r}} \right)^{-1} d\hat{r}^2 + \hat{r}^2 d\hat{\theta}^2 + \left(\frac{\hat{r} \sin(\lambda \hat{\theta})}{\lambda} \right)^2 d\hat{\phi}^2.$$

Donde temos que $\hat{g}(0) = \frac{2}{\hat{r}} d\hat{t}^2 - \frac{\hat{r}}{2} d\hat{r}^2 + \hat{r}^2 d\hat{\theta}^2 + \hat{r}^2 \hat{\theta}^2 d\hat{\phi}^2$ é uma solução no vácuo não-plana originalmente descoberta por Edward Kasner [Kas21].

O limite sobre as componentes da métrica

```
M = Manifold(4, 'M', latex_name='M', structure='Lorentzian')
Chart.<t,r,theta,phi> = M.chart(r"t:(-oo,oo):\widehat{t} r:(0,+oo):\widehat{r} theta:(0,pi):
    ↳\widehat{\theta} phi:(0,2*pi):\widehat{\phi}")
Chart
```

$$(M, (\hat{t}, \hat{r}, \hat{\theta}, \hat{\phi}))$$

O limite sobre as componentes da métrica

```
M = Manifold(4, 'M', latex_name='M', structure='Lorentzian')
Chart.<t,r,theta,phi> = M.chart(r"t:(-oo,oo):\widehat{t} r:(0,+oo):\widehat{r} theta:(0,pi):
    \widehat{\theta} phi:(0,2*pi):\widehat{\phi}")
Chart
```

$$(M, (\widehat{t}, \widehat{r}, \widehat{\theta}, \widehat{\phi}))$$

```
g = M.metric()
g[0,0] = 2/r
g[1,1] = -r/2
g[2,2] = r^2
g[3,3] = r^2*theta^2
g[:]
```

$$\begin{pmatrix} \frac{2}{\widehat{r}} & 0 & 0 & 0 \\ 0 & -\frac{1}{2}\widehat{r} & 0 & 0 \\ 0 & 0 & \widehat{r}^2 & 0 \\ 0 & 0 & 0 & \widehat{r}^2\widehat{\theta}^2 \end{pmatrix}$$

O limite sobre as componentes da métrica

```
Riemann = g.riemann()  
Riemann.display()
```

$$\begin{aligned} \text{Riem}(g) = & -\frac{1}{\hat{r}^2} \frac{\partial}{\partial \hat{t}} \otimes d\hat{r} \otimes d\hat{t} \otimes d\hat{r} + \frac{1}{\hat{r}^2} \frac{\partial}{\partial \hat{t}} \otimes d\hat{r} \otimes d\hat{r} \otimes d\hat{t} - \frac{1}{\hat{r}} \frac{\partial}{\partial \hat{t}} \otimes d\hat{\theta} \otimes d\hat{t} \otimes d\hat{\theta} + \frac{1}{\hat{r}} \frac{\partial}{\partial \hat{t}} \otimes d\hat{\theta} \otimes d\hat{\theta} \otimes d\hat{t} \\ & - \frac{\hat{\theta}^2}{\hat{r}} \frac{\partial}{\partial \hat{t}} \otimes d\hat{\phi} \otimes d\hat{t} \otimes d\hat{\phi} + \frac{\hat{\theta}^2}{\hat{r}} \frac{\partial}{\partial \hat{t}} \otimes d\hat{\phi} \otimes d\hat{\phi} \otimes d\hat{t} - \frac{4}{\hat{r}^4} \frac{\partial}{\partial \hat{r}} \otimes d\hat{t} \otimes d\hat{t} \otimes d\hat{r} + \frac{4}{\hat{r}^4} \frac{\partial}{\partial \hat{r}} \otimes d\hat{t} \otimes d\hat{r} \otimes d\hat{t} \\ & - \frac{1}{\hat{r}} \frac{\partial}{\partial \hat{r}} \otimes d\hat{\theta} \otimes d\hat{r} \otimes d\hat{\theta} + \frac{1}{\hat{r}} \frac{\partial}{\partial \hat{r}} \otimes d\hat{\theta} \otimes d\hat{\theta} \otimes d\hat{r} - \frac{\hat{\theta}^2}{\hat{r}} \frac{\partial}{\partial \hat{r}} \otimes d\hat{\phi} \otimes d\hat{r} \otimes d\hat{\phi} + \frac{\hat{\theta}^2}{\hat{r}} \frac{\partial}{\partial \hat{r}} \otimes d\hat{\phi} \otimes d\hat{\phi} \otimes d\hat{r} \\ & + \frac{2}{\hat{r}^4} \frac{\partial}{\partial \hat{\theta}} \otimes d\hat{t} \otimes d\hat{t} \otimes d\hat{\theta} - \frac{2}{\hat{r}^4} \frac{\partial}{\partial \hat{\theta}} \otimes d\hat{t} \otimes d\hat{\theta} \otimes d\hat{t} - \frac{1}{2\hat{r}^2} \frac{\partial}{\partial \hat{\theta}} \otimes d\hat{r} \otimes d\hat{r} \otimes d\hat{\theta} + \frac{1}{2\hat{r}^2} \frac{\partial}{\partial \hat{\theta}} \otimes d\hat{r} \otimes d\hat{\theta} \otimes d\hat{r} \\ & + \frac{2\hat{\theta}^2}{\hat{r}} \frac{\partial}{\partial \hat{\theta}} \otimes d\hat{\phi} \otimes d\hat{\theta} \otimes d\hat{\phi} - \frac{2\hat{\theta}^2}{\hat{r}} \frac{\partial}{\partial \hat{\theta}} \otimes d\hat{\phi} \otimes d\hat{\phi} \otimes d\hat{\theta} + \frac{2}{\hat{r}^4} \frac{\partial}{\partial \hat{\phi}} \otimes d\hat{t} \otimes d\hat{t} \otimes d\hat{\phi} - \frac{2}{\hat{r}^4} \frac{\partial}{\partial \hat{\phi}} \otimes d\hat{t} \otimes d\hat{\phi} \otimes d\hat{t} \\ & - \frac{1}{2\hat{r}^2} \frac{\partial}{\partial \hat{\phi}} \otimes d\hat{r} \otimes d\hat{r} \otimes d\hat{\phi} + \frac{1}{2\hat{r}^2} \frac{\partial}{\partial \hat{\phi}} \otimes d\hat{r} \otimes d\hat{\phi} \otimes d\hat{r} - \frac{2}{\hat{r}} \frac{\partial}{\partial \hat{\phi}} \otimes d\hat{\theta} \otimes d\hat{\theta} \otimes d\hat{\phi} + \frac{2}{\hat{r}} \frac{\partial}{\partial \hat{\phi}} \otimes d\hat{\theta} \otimes d\hat{\phi} \otimes d\hat{\theta} \end{aligned}$$

O limite sobre as componentes da métrica

```
Ricci = g.ricci()  
RicciScalar = g.ricci_scalar()  
G = Ricci - (1/2)*RicciScalar*g  
G[:]
```

$$\begin{pmatrix} 0 & 0 & 0 & 0 \\ 0 & 0 & 0 & 0 \\ 0 & 0 & 0 & 0 \\ 0 & 0 & 0 & 0 \end{pmatrix}$$

Agora considere a seguinte mudança de coordenadas:

$$\bar{\Phi} : \begin{cases} \bar{t} &= t \\ \bar{r} &= r + \frac{1}{\lambda^4} \end{cases} \quad \begin{cases} \bar{\theta} &= \frac{1}{\lambda^4} \theta \\ \bar{\phi} &= \phi \end{cases}$$

O limite sobre as componentes da métrica

```
Ricci = g.ricci()  
RicciScalar = g.ricci_scalar()  
G = Ricci - (1/2)*RicciScalar*g  
G[:]
```

$$\begin{pmatrix} 0 & 0 & 0 & 0 \\ 0 & 0 & 0 & 0 \\ 0 & 0 & 0 & 0 \\ 0 & 0 & 0 & 0 \end{pmatrix}$$

Agora considere a seguinte mudança de coordenadas:

$$\bar{\Phi} : \begin{cases} \bar{t} &= t \\ \bar{r} &= r + \frac{1}{\lambda^4} \end{cases} \quad \begin{cases} \bar{\theta} &= \frac{1}{\lambda^4} \theta \\ \bar{\phi} &= \phi \end{cases}$$

O limite sobre as componentes da métrica

Neste sistema de coordenadas $g(\lambda)$ é dada por

$$\bar{g}(\lambda) = - \left(1 - \frac{2\lambda}{\lambda^4 \bar{r} - 1} \right) d\bar{t}^2 + \left(1 - \frac{2\lambda}{\lambda^4 \bar{r} - 1} \right)^{-1} d\bar{r}^2 + (\lambda^4 \bar{r} - 1)^2 d\bar{\theta}^2 + \left(\bar{r} \sin(\lambda^4 \bar{\theta}) - \frac{\sin(\lambda^4 \bar{\theta})}{\lambda^4} \right)^2 d\bar{\phi}^2.$$

Donde temos que $\bar{g}(0) = -d\bar{t}^2 + d\bar{r}^2 + d\bar{\theta}^2 + \bar{\theta}^2 d\bar{\phi}^2$ é uma solução no vácuo plana.

O limite sobre as componentes da métrica

Neste sistema de coordenadas $g(\lambda)$ é dada por

$$\bar{g}(\lambda) = - \left(1 - \frac{2\lambda}{\lambda^4 \bar{r} - 1} \right) d\bar{t}^2 + \left(1 - \frac{2\lambda}{\lambda^4 \bar{r} - 1} \right)^{-1} d\bar{r}^2 + (\lambda^4 \bar{r} - 1)^2 d\bar{\theta}^2 + \left(\bar{r} \sin(\lambda^4 \bar{\theta}) - \frac{\sin(\lambda^4 \bar{\theta})}{\lambda^4} \right)^2 d\bar{\phi}^2.$$

Donde temos que $\bar{g}(0) = -d\bar{t}^2 + d\bar{r}^2 + d\bar{\theta}^2 + \bar{\theta}^2 d\bar{\phi}^2$ é uma solução no vácuo plana.

O limite sobre as componentes da métrica

Neste sistema de coordenadas $g(\lambda)$ é dada por

$$\bar{g}(\lambda) = - \left(1 - \frac{2\lambda}{\lambda^4 \bar{r} - 1} \right) d\bar{t}^2 + \left(1 - \frac{2\lambda}{\lambda^4 \bar{r} - 1} \right)^{-1} d\bar{r}^2 + (\lambda^4 \bar{r} - 1)^2 d\bar{\theta}^2 + \left(\bar{r} \sin(\lambda^4 \bar{\theta}) - \frac{\sin(\lambda^4 \bar{\theta})}{\lambda^4} \right)^2 d\bar{\phi}^2.$$

Donde temos que $\bar{g}(0) = -d\bar{t}^2 + d\bar{r}^2 + d\bar{\theta}^2 + \bar{\theta}^2 d\bar{\phi}^2$ é uma solução no vácuo plana.

O limite sobre as componentes da métrica

Neste sistema de coordenadas $g(\lambda)$ é dada por

$$\bar{g}(\lambda) = - \left(1 - \frac{2\lambda}{\lambda^4 \bar{r} - 1}\right) d\bar{t}^2 + \left(1 - \frac{2\lambda}{\lambda^4 \bar{r} - 1}\right)^{-1} d\bar{r}^2 + (\lambda^4 \bar{r} - 1)^2 d\bar{\theta}^2 + \left(\bar{r} \sin(\lambda^4 \bar{\theta}) - \frac{\sin(\lambda^4 \bar{\theta})}{\lambda^4}\right)^2 d\bar{\phi}^2.$$

Donde temos que $\bar{g}(0) = -d\bar{t}^2 + d\bar{r}^2 + d\bar{\theta}^2 + \bar{\theta}^2 d\bar{\phi}^2$ é uma solução no vácuo plana.

```
M = Manifold(4, 'M', latex_name='M', structure='Lorentzian')
Chart.<t,r,theta,phi> = M.chart(r"t:(-oo,oo):\overline{t} r:(0,+oo):\overline{r} theta:(0,pi):
→\overline{\theta} phi:(0,2*pi):\overline{\phi}")
Chart
```

$$(M, (\bar{t}, \bar{r}, \bar{\theta}, \bar{\phi}))$$

O limite sobre as componentes da métrica

```
g = M.metric()  
g[0,0] = -1  
g[1,1] = 1  
g[2,2] = 1  
g[3,3] = theta^2  
g[:]
```

$$\begin{pmatrix} -1 & 0 & 0 & 0 \\ 0 & 1 & 0 & 0 \\ 0 & 0 & 1 & 0 \\ 0 & 0 & 0 & \bar{\theta}^2 \end{pmatrix}$$

O limite sobre as componentes da métrica

```
g = M.metric()  
g[0,0] = -1  
g[1,1] = 1  
g[2,2] = 1  
g[3,3] = theta^2  
g[:]
```

$$\begin{pmatrix} -1 & 0 & 0 & 0 \\ 0 & 1 & 0 & 0 \\ 0 & 0 & 1 & 0 \\ 0 & 0 & 0 & \bar{\theta}^2 \end{pmatrix}$$

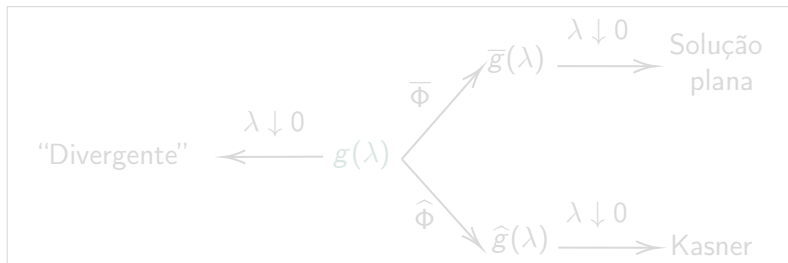
```
Riemann = g.riemann()  
Riemann.display()
```

$$\text{Riem}(g) = 0$$

O limite sobre as componentes da métrica

```
Ricci = g.ricci()  
RicciScalar = g.ricci_scalar()  
G = Ricci - (1/2)*RicciScalar*g  
G[:]
```

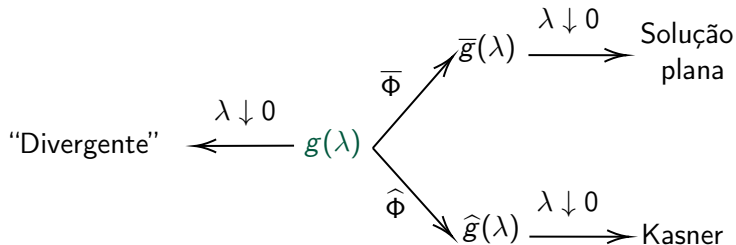
$$\begin{pmatrix} 0 & 0 & 0 & 0 \\ 0 & 0 & 0 & 0 \\ 0 & 0 & 0 & 0 \\ 0 & 0 & 0 & 0 \end{pmatrix}$$



O limite sobre as componentes da métrica

```
Ricci = g.ricci()  
RicciScalar = g.ricci_scalar()  
G = Ricci - (1/2)*RicciScalar*g  
G[:]
```

$$\begin{pmatrix} 0 & 0 & 0 & 0 \\ 0 & 0 & 0 & 0 \\ 0 & 0 & 0 & 0 \\ 0 & 0 & 0 & 0 \end{pmatrix}$$



O limite sobre as componentes da métrica

- A métrica de Reissner-Nordström

Considere a família de métricas $g(e)$ a 1-parâmetro ($e > 0$) dada por

$$g(e) = - \left(1 - \frac{2m}{r} + \frac{e^2}{r^2} \right) dt^2 + \left(1 - \frac{2m}{r} + \frac{e^2}{r^2} \right)^{-1} dr^2 + r^2 d\theta^2 + r^2 \sin^2(\theta) d\phi^2,$$

onde $m > 0$ está fixado. Esta família é conhecida como métrica de Reissner-Nordström. Note que

$$\begin{aligned} g(m) &= - \left(1 - \frac{2m}{r} + \frac{m^2}{r^2} \right) dt^2 + \left(1 - \frac{2m}{r} + \frac{m^2}{r^2} \right)^{-1} dr^2 + r^2 d\theta^2 + r^2 \sin^2(\theta) d\phi^2 \\ &= - \left(1 - \frac{m}{r} \right)^2 dt^2 + \left(1 - \frac{m}{r} \right)^{-2} dr^2 + r^2 d\theta^2 + r^2 \sin^2(\theta) d\phi^2 \end{aligned}$$

é conhecida como métrica de Reissner-Nordström extrema.

O limite sobre as componentes da métrica

- A métrica de Reissner-Nordström

Considere a família de métricas $g(e)$ a 1-parâmetro ($e > 0$) dada por

$$g(e) = - \left(1 - \frac{2m}{r} + \frac{e^2}{r^2} \right) dt^2 + \left(1 - \frac{2m}{r} + \frac{e^2}{r^2} \right)^{-1} dr^2 + r^2 d\theta^2 + r^2 \sin^2(\theta) d\phi^2,$$

onde $m > 0$ está fixado. Esta família é conhecida como métrica de Reissner-Nordström. Note que

$$\begin{aligned} g(m) &= - \left(1 - \frac{2m}{r} + \frac{m^2}{r^2} \right) dt^2 + \left(1 - \frac{2m}{r} + \frac{m^2}{r^2} \right)^{-1} dr^2 + r^2 d\theta^2 + r^2 \sin^2(\theta) d\phi^2 \\ &= - \left(1 - \frac{m}{r} \right)^2 dt^2 + \left(1 - \frac{m}{r} \right)^{-2} dr^2 + r^2 d\theta^2 + r^2 \sin^2(\theta) d\phi^2 \end{aligned}$$

é conhecida como métrica de Reissner-Nordström extrema.

O limite sobre as componentes da métrica

- A métrica de Reissner-Nordström

Considere a família de métricas $g(e)$ a 1-parâmetro ($e > 0$) dada por

$$g(e) = - \left(1 - \frac{2m}{r} + \frac{e^2}{r^2} \right) dt^2 + \left(1 - \frac{2m}{r} + \frac{e^2}{r^2} \right)^{-1} dr^2 + r^2 d\theta^2 + r^2 \sin^2(\theta) d\phi^2,$$

onde $m > 0$ está fixado. Esta família é conhecida como métrica de Reissner-Nordström. Note que

$$\begin{aligned} g(m) &= - \left(1 - \frac{2m}{r} + \frac{m^2}{r^2} \right) dt^2 + \left(1 - \frac{2m}{r} + \frac{m^2}{r^2} \right)^{-1} dr^2 + r^2 d\theta^2 + r^2 \sin^2(\theta) d\phi^2 \\ &= - \left(1 - \frac{m}{r} \right)^2 dt^2 + \left(1 - \frac{m}{r} \right)^{-2} dr^2 + r^2 d\theta^2 + r^2 \sin^2(\theta) d\phi^2 \end{aligned}$$

é conhecida como métrica de Reissner-Nordström extrema.

O limite sobre as componentes da métrica

- A métrica de Reissner-Nordström

Considere a família de métricas $g(e)$ a 1-parâmetro ($e > 0$) dada por

$$g(e) = - \left(1 - \frac{2m}{r} + \frac{e^2}{r^2} \right) dt^2 + \left(1 - \frac{2m}{r} + \frac{e^2}{r^2} \right)^{-1} dr^2 + r^2 d\theta^2 + r^2 \sin^2(\theta) d\phi^2,$$

onde $m > 0$ está fixado. Esta família é conhecida como métrica de Reissner-Nordström. Note que

$$\begin{aligned} g(m) &= - \left(1 - \frac{2m}{r} + \frac{m^2}{r^2} \right) dt^2 + \left(1 - \frac{2m}{r} + \frac{m^2}{r^2} \right)^{-1} dr^2 + r^2 d\theta^2 + r^2 \sin^2(\theta) d\phi^2 \\ &= - \left(1 - \frac{m}{r} \right)^2 dt^2 + \left(1 - \frac{m}{r} \right)^{-2} dr^2 + r^2 d\theta^2 + r^2 \sin^2(\theta) d\phi^2 \end{aligned}$$

é conhecida como métrica de Reissner-Nordström extrema.

O limite sobre as componentes da métrica

- A métrica de Reissner-Nordström

Considere a família de métricas $g(e)$ a 1-parâmetro ($e > 0$) dada por

$$g(e) = - \left(1 - \frac{2m}{r} + \frac{e^2}{r^2} \right) dt^2 + \left(1 - \frac{2m}{r} + \frac{e^2}{r^2} \right)^{-1} dr^2 + r^2 d\theta^2 + r^2 \sin^2(\theta) d\phi^2,$$

onde $m > 0$ está fixado. Esta família é conhecida como métrica de Reissner-Nordström. Note que

$$\begin{aligned} g(m) &= - \left(1 - \frac{2m}{r} + \frac{m^2}{r^2} \right) dt^2 + \left(1 - \frac{2m}{r} + \frac{m^2}{r^2} \right)^{-1} dr^2 + r^2 d\theta^2 + r^2 \sin^2(\theta) d\phi^2 \\ &= - \left(1 - \frac{m}{r} \right)^2 dt^2 + \left(1 - \frac{m}{r} \right)^{-2} dr^2 + r^2 d\theta^2 + r^2 \sin^2(\theta) d\phi^2 \end{aligned}$$

é conhecida como métrica de Reissner-Nordström extrema.

O limite sobre as componentes da métrica

- A métrica de Reissner-Nordström

Considere a família de métricas $g(e)$ a 1-parâmetro ($e > 0$) dada por

$$g(e) = - \left(1 - \frac{2m}{r} + \frac{e^2}{r^2} \right) dt^2 + \left(1 - \frac{2m}{r} + \frac{e^2}{r^2} \right)^{-1} dr^2 + r^2 d\theta^2 + r^2 \sin^2(\theta) d\phi^2,$$

onde $m > 0$ está fixado. Esta família é conhecida como métrica de Reissner-Nordström. Note que

$$\begin{aligned} g(m) &= - \left(1 - \frac{2m}{r} + \frac{m^2}{r^2} \right) dt^2 + \left(1 - \frac{2m}{r} + \frac{m^2}{r^2} \right)^{-1} dr^2 + r^2 d\theta^2 + r^2 \sin^2(\theta) d\phi^2 \\ &= - \left(1 - \frac{m}{r} \right)^2 dt^2 + \left(1 - \frac{m}{r} \right)^{-2} dr^2 + r^2 d\theta^2 + r^2 \sin^2(\theta) d\phi^2 \end{aligned}$$

é conhecida como métrica de Reissner-Nordström extrema.

O limite sobre as componentes da métrica

Considere a seguinte mudança de coordenadas:

$$\hat{\Phi} : \begin{cases} \hat{t} = \frac{\sqrt{m^2 - e^2} t}{r - m} \\ \hat{r} = \frac{r - m}{\sqrt{m^2 - e^2}} \end{cases} \quad \begin{cases} \hat{\theta} = \theta \\ \hat{\phi} = \phi \end{cases}$$

Neste sistema de coordenadas $g(e)$ é dada por

$$\begin{aligned} \hat{g}(e) = & - \left(\frac{m^5 \hat{r}^2 - m^5 + (m^4 \hat{r}^3 - m^4 \hat{r}) \sqrt{e+m} \sqrt{-e+m}}{m^3 - 3(e^2 m - m^3) \hat{r}^2 - ((e^2 - m^2) \hat{r}^3 - 3 m^2 \hat{r}) \sqrt{e+m} \sqrt{-e+m}} \right) d\hat{t}^2 \\ & + \left(\frac{m^3 - 3(e^2 m - m^3) \hat{r}^2 - ((e^2 - m^2) \hat{r}^3 - 3 m^2 \hat{r}) \sqrt{e+m} \sqrt{-e+m}}{m \hat{r}^2 + (\hat{r}^3 - \hat{r}) \sqrt{e+m} \sqrt{-e+m} - m} \right) d\hat{r}^2 \\ & + (2 \sqrt{e+m} \sqrt{-e+m} m \hat{r} - (e^2 - m^2) \hat{r}^2 + m^2) d\hat{\theta}^2 \\ & + \left(2 \sqrt{e+m} \sqrt{-e+m} m \hat{r} \sin(\hat{\theta})^2 - ((e^2 - m^2) \hat{r}^2 - m^2) \sin(\hat{\theta})^2 \right) d\hat{\phi}^2 \end{aligned}$$

O limite sobre as componentes da métrica

Considere a seguinte mudança de coordenadas:

$$\hat{\Phi} : \begin{cases} \hat{t} = \frac{\sqrt{m^2 - e^2} t}{r - m} \\ \hat{r} = \frac{r - m}{\sqrt{m^2 - e^2}} \end{cases} \quad \begin{cases} \hat{\theta} = \theta \\ \hat{\phi} = \phi \end{cases}$$

Neste sistema de coordenadas $g(e)$ é dada por

$$\begin{aligned} \hat{g}(e) = & - \left(\frac{m^5 \hat{r}^2 - m^5 + (m^4 \hat{r}^3 - m^4 \hat{r}) \sqrt{e+m} \sqrt{-e+m}}{m^3 - 3(e^2 m - m^3) \hat{r}^2 - ((e^2 - m^2) \hat{r}^3 - 3 m^2 \hat{r}) \sqrt{e+m} \sqrt{-e+m}} \right) d\hat{t}^2 \\ & + \left(\frac{m^3 - 3(e^2 m - m^3) \hat{r}^2 - ((e^2 - m^2) \hat{r}^3 - 3 m^2 \hat{r}) \sqrt{e+m} \sqrt{-e+m}}{m \hat{r}^2 + (\hat{r}^3 - \hat{r}) \sqrt{e+m} \sqrt{-e+m} - m} \right) d\hat{r}^2 \\ & + (2 \sqrt{e+m} \sqrt{-e+m} m \hat{r} - (e^2 - m^2) \hat{r}^2 + m^2) d\hat{\theta}^2 \\ & + \left(2 \sqrt{e+m} \sqrt{-e+m} m \hat{r} \sin(\hat{\theta})^2 - ((e^2 - m^2) \hat{r}^2 - m^2) \sin(\hat{\theta})^2 \right) d\hat{\phi}^2 \end{aligned}$$

O limite sobre as componentes da métrica

Donde temos que $\widehat{g}(m) = m^2 \left(-(\widehat{r}^2 - 1) d\widehat{t}^2 + (\widehat{r}^2 - 1)^{-1} d\widehat{r}^2 + d\widehat{\theta}^2 + \sin^2(\widehat{\theta}) d\widehat{\phi}^2 \right)$ é conhecida como a métrica de Bertotti-Robinson ($AdS_2 \otimes \mathbb{S}^2$) (uma métrica conformalmente plana).

O limite sobre as componentes da métrica

Donde temos que $\widehat{g}(m) = m^2 \left(-(\widehat{r}^2 - 1) d\widehat{t}^2 + (\widehat{r}^2 - 1)^{-1} d\widehat{r}^2 + d\widehat{\theta}^2 + \sin^2(\widehat{\theta}) d\widehat{\phi}^2 \right)$ é conhecida como a métrica de Bertotti-Robinson ($AdS_2 \otimes \mathbb{S}^2$) (uma métrica conformalmente plana).

O limite sobre as componentes da métrica

Donde temos que $\widehat{g}(m) = m^2 \left(-(\widehat{r}^2 - 1) d\widehat{t}^2 + (\widehat{r}^2 - 1)^{-1} d\widehat{r}^2 + d\widehat{\theta}^2 + \sin^2(\widehat{\theta}) d\widehat{\phi}^2 \right)$ é conhecida como a métrica de Bertotti-Robinson ($AdS_2 \otimes \mathbb{S}^2$) (uma métrica conformalmente plana).

```
M = Manifold(4, 'M', latex_name='M', structure='Lorentzian')
Chart.<t,r,theta,phi> = M.chart(r"t:(-oo,oo):\widehat{t} r:(0,+oo):\widehat{r} theta:(0,pi):
    \widehat{\theta} phi:(0,2*pi):\widehat{\phi}")
Chart
```

$$(M, (\widehat{t}, \widehat{r}, \widehat{\theta}, \widehat{\phi}))$$

O limite sobre as componentes da métrica

```
g = M.metric()  
m = var('m')  
g[0,0] = m^2*(-(r^2-1))  
g[1,1] = m^2*(1/(r^2-1))  
g[2,2] = m^2  
g[3,3] = m^2*sin(theta)^2  
g[:]
```

$$\begin{pmatrix} -(\hat{r}^2 - 1)m^2 & 0 & 0 & 0 \\ 0 & \frac{m^2}{\hat{r}^2 - 1} & 0 & 0 \\ 0 & 0 & m^2 & 0 \\ 0 & 0 & 0 & m^2 \sin(\hat{\theta})^2 \end{pmatrix}$$

O limite sobre as componentes da métrica

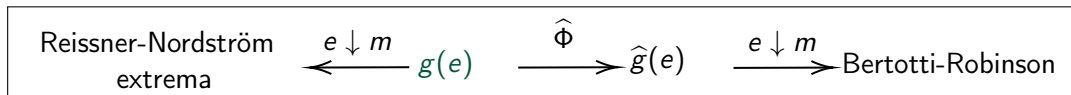
```
g = M.metric()
m = var('m')
g[0,0] = m^2*(-(r^2-1))
g[1,1] = m^2*(1/(r^2-1))
g[2,2] = m^2
g[3,3] = m^2*sin(theta)^2
g[:]
```

$$\begin{pmatrix} -(\hat{r}^2 - 1)m^2 & 0 & 0 & 0 \\ 0 & \frac{m^2}{\hat{r}^2 - 1} & 0 & 0 \\ 0 & 0 & m^2 & 0 \\ 0 & 0 & 0 & m^2 \sin(\hat{\theta})^2 \end{pmatrix}$$

```
C = g.weyl()
C.display()
```

$$C(g) = 0$$

O limite sobre as componentes da métrica

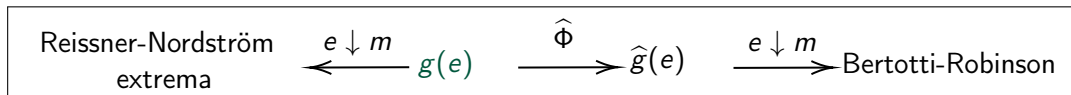


Ainda olhando para a métrica

$$g(e) = - \left(1 - \frac{2m}{r} + \frac{e^2}{r^2} \right) dt^2 + \left(1 - \frac{2m}{r} + \frac{e^2}{r^2} \right)^{-1} dr^2 + r^2 d\theta^2 + r^2 \sin^2(\theta) d\phi^2.$$

Note que $g(0) = - \left(1 - \frac{2m}{r} \right) dt^2 + \left(1 - \frac{2m}{r} \right)^{-1} dr^2 + r^2 d\theta^2 + r^2 \sin^2(\theta) d\phi^2$ é conhecida como métrica de Schwarzschild.

O limite sobre as componentes da métrica

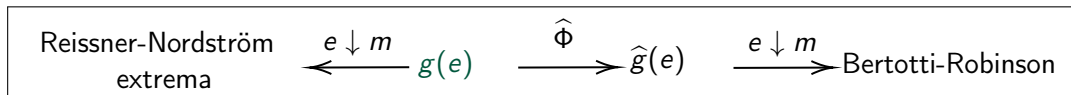


Ainda olhando para a métrica

$$g(e) = - \left(1 - \frac{2m}{r} + \frac{e^2}{r^2} \right) dt^2 + \left(1 - \frac{2m}{r} + \frac{e^2}{r^2} \right)^{-1} dr^2 + r^2 d\theta^2 + r^2 \sin^2(\theta) d\phi^2.$$

Note que $g(0) = - \left(1 - \frac{2m}{r} \right) dt^2 + \left(1 - \frac{2m}{r} \right)^{-1} dr^2 + r^2 d\theta^2 + r^2 \sin^2(\theta) d\phi^2$ é conhecida como métrica de Schwarzschild.

O limite sobre as componentes da métrica

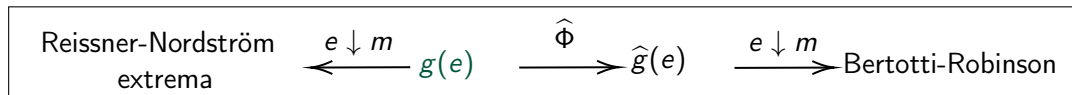


Ainda olhando para a métrica

$$g(e) = - \left(1 - \frac{2m}{r} + \frac{e^2}{r^2} \right) dt^2 + \left(1 - \frac{2m}{r} + \frac{e^2}{r^2} \right)^{-1} dr^2 + r^2 d\theta^2 + r^2 \sin^2(\theta) d\phi^2.$$

Note que $g(0) = - \left(1 - \frac{2m}{r} \right) dt^2 + \left(1 - \frac{2m}{r} \right)^{-1} dr^2 + r^2 d\theta^2 + r^2 \sin^2(\theta) d\phi^2$ é conhecida como métrica de Schwarzschild.

O limite sobre as componentes da métrica



Ainda olhando para a métrica

$$g(e) = - \left(1 - \frac{2m}{r} + \frac{e^2}{r^2} \right) dt^2 + \left(1 - \frac{2m}{r} + \frac{e^2}{r^2} \right)^{-1} dr^2 + r^2 d\theta^2 + r^2 \sin^2(\theta) d\phi^2.$$

Note que $g(0) = - \left(1 - \frac{2m}{r} \right) dt^2 + \left(1 - \frac{2m}{r} \right)^{-1} dr^2 + r^2 d\theta^2 + r^2 \sin^2(\theta) d\phi^2$ é conhecida como métrica de Schwarzschild.

O limite sobre as componentes da métrica

Considere a seguinte mudança de coordenadas:

$$\bar{\Phi} : \begin{cases} \bar{t} = t \\ \bar{r} = r + \frac{1}{e} \end{cases} \quad \begin{cases} \bar{\theta} = \frac{\theta}{e} \\ \bar{\phi} = \phi \end{cases}$$

Neste sistema de coordenadas $\bar{g}(e)$ é dada por

$$\begin{aligned} \bar{g}(e) = & - \left(\frac{e^4 + e^2 \bar{r}^2 + 2em - 2(e^2m + e)\bar{r} + 1}{e^2 \bar{r}^2 - 2e\bar{r} + 1} \right) d\bar{t}^2 + \left(\frac{e^2 \bar{r}^2 - 2e\bar{r} + 1}{e^4 + e^2 \bar{r}^2 + 2em - 2(e^2m + e)\bar{r} + 1} \right) d\bar{r}^2 \\ & + (e^2 \bar{r}^2 - 2e\bar{r} + 1) d\bar{\theta}^2 + \left(\frac{(e^2 \bar{r}^2 - 2e\bar{r} + 1) \sin(e\bar{\theta})^2}{e^2} \right) d\bar{\phi}^2 \end{aligned}$$

Donde temos que $\bar{g}(0) = -d\bar{t}^2 + d\bar{r}^2 + d\bar{\theta}^2 + \bar{\theta}^2 d\bar{\phi}^2$ é uma solução no vácuo plana.

Schwarzschild	$\xleftarrow{e \downarrow 0} g(e)$	$\xrightarrow{\bar{\Phi}} \bar{g}(e)$	$\xrightarrow{e \downarrow 0}$	Solução plana
---------------	------------------------------------	---------------------------------------	--------------------------------	---------------

O limite sobre as componentes da métrica

Considere a seguinte mudança de coordenadas:

$$\bar{\Phi} : \begin{cases} \bar{t} = t \\ \bar{r} = r + \frac{1}{e} \end{cases} \quad \begin{cases} \bar{\theta} = \frac{\theta}{e} \\ \bar{\phi} = \phi \end{cases}$$

Neste sistema de coordenadas $g(e)$ é dada por

$$\begin{aligned} \bar{g}(e) = & - \left(\frac{e^4 + e^2 \bar{r}^2 + 2em - 2(e^2 m + e)\bar{r} + 1}{e^2 \bar{r}^2 - 2e\bar{r} + 1} \right) d\bar{t}^2 + \left(\frac{e^2 \bar{r}^2 - 2e\bar{r} + 1}{e^4 + e^2 \bar{r}^2 + 2em - 2(e^2 m + e)\bar{r} + 1} \right) d\bar{r}^2 \\ & + (e^2 \bar{r}^2 - 2e\bar{r} + 1) d\bar{\theta}^2 + \left(\frac{(e^2 \bar{r}^2 - 2e\bar{r} + 1) \sin(e\bar{\theta})^2}{e^2} \right) d\bar{\phi}^2 \end{aligned}$$

Donde temos que $\bar{g}(0) = -d\bar{t}^2 + d\bar{r}^2 + d\bar{\theta}^2 + \bar{\theta}^2 d\bar{\phi}^2$ é uma solução no vácuo plana.

Schwarzschild	$\xleftarrow{e \downarrow 0} g(e)$	$\xrightarrow{\bar{\Phi}} \bar{g}(e)$	$\xrightarrow{e \downarrow 0}$	Solução plana
---------------	------------------------------------	---------------------------------------	--------------------------------	---------------

O limite sobre as componentes da métrica

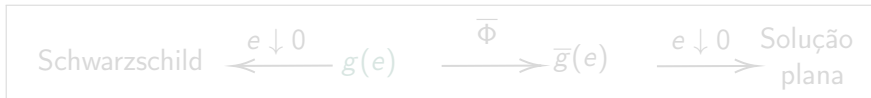
Considere a seguinte mudança de coordenadas:

$$\bar{\Phi} : \begin{cases} \bar{t} = t \\ \bar{r} = r + \frac{1}{e} \end{cases} \quad \begin{cases} \bar{\theta} = \frac{\theta}{e} \\ \bar{\phi} = \phi \end{cases}$$

Neste sistema de coordenadas $g(e)$ é dada por

$$\begin{aligned} \bar{g}(e) = & - \left(\frac{e^4 + e^2 \bar{r}^2 + 2em - 2(e^2 m + e)\bar{r} + 1}{e^2 \bar{r}^2 - 2e\bar{r} + 1} \right) d\bar{t}^2 + \left(\frac{e^2 \bar{r}^2 - 2e\bar{r} + 1}{e^4 + e^2 \bar{r}^2 + 2em - 2(e^2 m + e)\bar{r} + 1} \right) d\bar{r}^2 \\ & + (e^2 \bar{r}^2 - 2e\bar{r} + 1) d\bar{\theta}^2 + \left(\frac{(e^2 \bar{r}^2 - 2e\bar{r} + 1) \sin(e\bar{\theta})^2}{e^2} \right) d\bar{\phi}^2 \end{aligned}$$

Donde temos que $\bar{g}(0) = -d\bar{t}^2 + d\bar{r}^2 + d\bar{\theta}^2 + \bar{\theta}^2 d\bar{\phi}^2$ é uma solução no vácuo plana.



O limite sobre as componentes da métrica

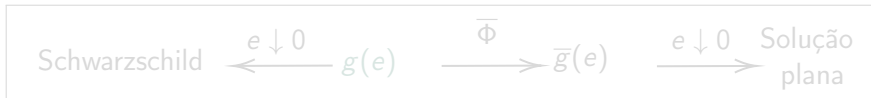
Considere a seguinte mudança de coordenadas:

$$\bar{\Phi} : \begin{cases} \bar{t} = t \\ \bar{r} = r + \frac{1}{e} \end{cases} \quad \begin{cases} \bar{\theta} = \frac{\theta}{e} \\ \bar{\phi} = \phi \end{cases}$$

Neste sistema de coordenadas $\bar{g}(e)$ é dada por

$$\begin{aligned} \bar{g}(e) = & - \left(\frac{e^4 + e^2 \bar{r}^2 + 2em - 2(e^2 m + e)\bar{r} + 1}{e^2 \bar{r}^2 - 2e\bar{r} + 1} \right) d\bar{t}^2 + \left(\frac{e^2 \bar{r}^2 - 2e\bar{r} + 1}{e^4 + e^2 \bar{r}^2 + 2em - 2(e^2 m + e)\bar{r} + 1} \right) d\bar{r}^2 \\ & + (e^2 \bar{r}^2 - 2e\bar{r} + 1) d\bar{\theta}^2 + \left(\frac{(e^2 \bar{r}^2 - 2e\bar{r} + 1) \sin(e\bar{\theta})^2}{e^2} \right) d\bar{\phi}^2 \end{aligned}$$

Donde temos que $\bar{g}(0) = -d\bar{t}^2 + d\bar{r}^2 + d\bar{\theta}^2 + \bar{\theta}^2 d\bar{\phi}^2$ é uma solução no vácuo plana.



O limite sobre as componentes da métrica

Considere a seguinte mudança de coordenadas:

$$\bar{\Phi} : \begin{cases} \bar{t} = t \\ \bar{r} = r + \frac{1}{e} \end{cases} \quad \begin{cases} \bar{\theta} = \frac{\theta}{e} \\ \bar{\phi} = \phi \end{cases}$$

Neste sistema de coordenadas $\bar{g}(e)$ é dada por

$$\begin{aligned} \bar{g}(e) = & - \left(\frac{e^4 + e^2 \bar{r}^2 + 2em - 2(e^2 m + e)\bar{r} + 1}{e^2 \bar{r}^2 - 2e\bar{r} + 1} \right) d\bar{t}^2 + \left(\frac{e^2 \bar{r}^2 - 2e\bar{r} + 1}{e^4 + e^2 \bar{r}^2 + 2em - 2(e^2 m + e)\bar{r} + 1} \right) d\bar{r}^2 \\ & + (e^2 \bar{r}^2 - 2e\bar{r} + 1) d\bar{\theta}^2 + \left(\frac{(e^2 \bar{r}^2 - 2e\bar{r} + 1) \sin(e\bar{\theta})^2}{e^2} \right) d\bar{\phi}^2 \end{aligned}$$

Donde temos que $\bar{g}(0) = -d\bar{t}^2 + d\bar{r}^2 + d\bar{\theta}^2 + \bar{\theta}^2 d\bar{\phi}^2$ é uma solução no vácuo plana.

<div style="display: flex; align-items: center; justify-content: space-around;"><div style="text-align: center;">Schwarzschild</div><div style="text-align: center;">$\xleftarrow{e \downarrow 0}$</div><div style="text-align: center;">$\bar{g}(e)$</div><div style="text-align: center;">$\xrightarrow{\bar{\Phi}}$</div><div style="text-align: center;">$\bar{g}(e)$</div><div style="text-align: center;">$\xrightarrow{e \downarrow 0}$</div><div style="text-align: center;">Solução plana</div></div>

O limite sobre as componentes da métrica

- A métrica de Kerr

Considere a família de métricas $g(a)$ a 1-parâmetro ($a > 0$) dada por

$$\begin{aligned} g(a) = & - \left(1 - \frac{2mr}{a^2 \cos^2(\theta) + r^2} \right) dt^2 - \left(\frac{4amr \sin^2(\theta)}{a^2 \cos^2(\theta) + r^2} \right) dt d\phi \\ & + \left(\frac{a^2 \cos^2(\theta) + r^2}{a^2 - 2mr + r^2} \right) dr^2 + (a^2 \cos^2(\theta) + r^2) d\theta^2 \\ & + \left(\frac{2a^2 mr \sin^4(\theta)}{a^2 \cos^2(\theta) + r^2} + (a^2 + r^2) \sin^2(\theta) \right) d\phi^2, \end{aligned}$$

onde $m > 0$ está fixado. Esta família é conhecida com métrica de Kerr.

O limite sobre as componentes da métrica

- A métrica de Kerr

Considere a família de métricas $g(a)$ a 1-parâmetro ($a > 0$) dada por

$$\begin{aligned} g(a) = & - \left(1 - \frac{2mr}{a^2 \cos^2(\theta) + r^2} \right) dt^2 - \left(\frac{4amr \sin^2(\theta)}{a^2 \cos^2(\theta) + r^2} \right) dt d\phi \\ & + \left(\frac{a^2 \cos^2(\theta) + r^2}{a^2 - 2mr + r^2} \right) dr^2 + (a^2 \cos^2(\theta) + r^2) d\theta^2 \\ & + \left(\frac{2a^2 mr \sin^4(\theta)}{a^2 \cos^2(\theta) + r^2} + (a^2 + r^2) \sin^2(\theta) \right) d\phi^2, \end{aligned}$$

onde $m > 0$ está fixado. Esta família é conhecida com métrica de Kerr.

O limite sobre as componentes da métrica

- A métrica de Kerr

Considere a família de métricas $g(a)$ a 1-parâmetro ($a > 0$) dada por

$$\begin{aligned} g(a) = & - \left(1 - \frac{2mr}{a^2 \cos^2(\theta) + r^2} \right) dt^2 - \left(\frac{4amr \sin^2(\theta)}{a^2 \cos^2(\theta) + r^2} \right) dt d\phi \\ & + \left(\frac{a^2 \cos^2(\theta) + r^2}{a^2 - 2mr + r^2} \right) dr^2 + (a^2 \cos^2(\theta) + r^2) d\theta^2 \\ & + \left(\frac{2a^2 mr \sin^4(\theta)}{a^2 \cos^2(\theta) + r^2} + (a^2 + r^2) \sin^2(\theta) \right) d\phi^2, \end{aligned}$$

onde $m > 0$ está fixado. Esta família é conhecida com métrica de Kerr.

O limite sobre as componentes da métrica

- A métrica de Kerr

Considere a família de métricas $g(a)$ a 1-parâmetro ($a > 0$) dada por

$$\begin{aligned} g(a) = & - \left(1 - \frac{2mr}{a^2 \cos^2(\theta) + r^2} \right) dt^2 - \left(\frac{4amr \sin^2(\theta)}{a^2 \cos^2(\theta) + r^2} \right) dt d\phi \\ & + \left(\frac{a^2 \cos^2(\theta) + r^2}{a^2 - 2mr + r^2} \right) dr^2 + (a^2 \cos^2(\theta) + r^2) d\theta^2 \\ & + \left(\frac{2a^2 mr \sin^4(\theta)}{a^2 \cos^2(\theta) + r^2} + (a^2 + r^2) \sin^2(\theta) \right) d\phi^2, \end{aligned}$$

onde $m > 0$ está fixado. Esta família é conhecida com métrica de Kerr.

O limite sobre as componentes da métrica

Note que

$$\begin{aligned} g(0) &= - \left(1 - \frac{2mr}{0 \cos^2(\theta) + r^2} \right) dt^2 - \left(\frac{4 \cdot 0 \cdot mr \sin^2(\theta)}{0 \cos^2(\theta) + r^2} \right) dt d\phi \\ &\quad + \left(\frac{0 \cos^2(\theta) + r^2}{0 - 2mr + r^2} \right) dr^2 + (0 \cos^2(\theta) + r^2) d\theta^2 \\ &\quad + \left(\frac{2 \cdot 0 \cdot mr \sin^4(\theta)}{0 \cos^2(\theta) + r^2} + (0 + r^2) \sin^2(\theta) \right) d\phi^2 \\ &= - \left(1 - \frac{2m}{r} \right) dt^2 + \left(1 - \frac{2m}{r} \right)^{-1} dr^2 + r^2 d\theta^2 + r^2 \sin^2(\theta) d\phi^2 \end{aligned}$$

é conhecida como a métrica de Schwarzschild. Considere a seguinte mudança de coordenadas:

$$\bar{\Phi} : \begin{cases} \bar{t} = t & \bar{\theta} = \frac{\theta}{a} \\ \bar{r} = r - \frac{1}{a} & \bar{\phi} = \phi \end{cases}$$

O limite sobre as componentes da métrica

Note que

$$\begin{aligned} g(0) &= - \left(1 - \frac{2mr}{0 \cos^2(\theta) + r^2} \right) dt^2 - \left(\frac{4 \cdot 0 \cdot mr \sin^2(\theta)}{0 \cos^2(\theta) + r^2} \right) dt d\phi \\ &\quad + \left(\frac{0 \cos^2(\theta) + r^2}{0 - 2mr + r^2} \right) dr^2 + (0 \cos^2(\theta) + r^2) d\theta^2 \\ &\quad + \left(\frac{2 \cdot 0 \cdot mr \sin^4(\theta)}{0 \cos^2(\theta) + r^2} + (0 + r^2) \sin^2(\theta) \right) d\phi^2 \\ &= - \left(1 - \frac{2m}{r} \right) dt^2 + \left(1 - \frac{2m}{r} \right)^{-1} dr^2 + r^2 d\theta^2 + r^2 \sin^2(\theta) d\phi^2 \end{aligned}$$

é conhecida como a métrica de Schwarzschild. Considere a seguinte mudança de coordenadas:

$$\bar{\Phi} : \begin{cases} \bar{t} = t & \bar{\theta} = \frac{\theta}{a} \\ \bar{r} = r - \frac{1}{a} & \bar{\phi} = \phi \end{cases}$$

O limite sobre as componentes da métrica

Note que

$$\begin{aligned} g(0) &= - \left(1 - \frac{2mr}{0 \cos^2(\theta) + r^2} \right) dt^2 - \left(\frac{4 \cdot 0 \cdot mr \sin^2(\theta)}{0 \cos^2(\theta) + r^2} \right) dt d\phi \\ &\quad + \left(\frac{0 \cos^2(\theta) + r^2}{0 - 2mr + r^2} \right) dr^2 + (0 \cos^2(\theta) + r^2) d\theta^2 \\ &\quad + \left(\frac{2 \cdot 0 \cdot mr \sin^4(\theta)}{0 \cos^2(\theta) + r^2} + (0 + r^2) \sin^2(\theta) \right) d\phi^2 \\ &= - \left(1 - \frac{2m}{r} \right) dt^2 + \left(1 - \frac{2m}{r} \right)^{-1} dr^2 + r^2 d\theta^2 + r^2 \sin^2(\theta) d\phi^2 \end{aligned}$$

é conhecida como a métrica de Schwarzschild. Considere a seguinte mudança de coordenadas:

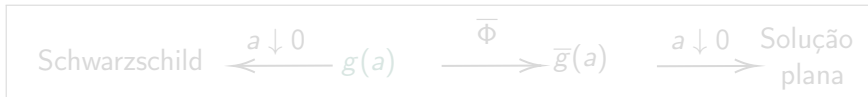
$$\bar{\Phi} : \begin{cases} \bar{t} &= t \\ \bar{r} &= r - \frac{1}{a} \end{cases} \quad \begin{cases} \bar{\theta} &= \frac{\theta}{a} \\ \bar{\phi} &= \phi \end{cases}$$

O limite sobre as componentes da métrica

Neste sistema de coordenadas $g(a)$ é dada por

$$\begin{aligned}\bar{g}(a) = & - \left(\frac{a^4 \cos(a\bar{\theta})^2 + a^2 \bar{r}^2 - 2am - 2(a^2m - a)\bar{r} + 1}{a^4 \cos(a\bar{\theta})^2 + a^2 \bar{r}^2 + 2a\bar{r} + 1} \right) d\bar{t}^2 \\ & - \left(\frac{4(a^3m\bar{r} + a^2m) \sin(a\bar{\theta})^2}{a^4 \cos(a\bar{\theta})^2 + a^2 \bar{r}^2 + 2a\bar{r} + 1} \right) d\bar{t}d\bar{\phi} + \left(\frac{a^4 \cos(a\bar{\theta})^2 + a^2 \bar{r}^2 - 2am - 2(a^2m - a)\bar{r} + 1}{a^4 \cos(a\bar{\theta})^2 + a^2 \bar{r}^2 + 2a\bar{r} + 1} \right) d\bar{r}^2 \\ & + \left(a^4 \cos(a\bar{\theta})^2 + a^2 \bar{r}^2 + 2a\bar{r} + 1 \right) d\bar{\theta}^2 \\ & + \left(\frac{2(a^6m\bar{r} + a^5m) \sin(a\bar{\theta})^4 + (a^4\bar{r}^4 + 4a^3\bar{r}^3 + a^4 + (a^6 + 6a^2)\bar{r}^2 + (a^8 + a^6\bar{r}^2 + 2a^5\bar{r} + a^4) \cos(a\bar{\theta})^2 + 2(a^5 + 2a)\bar{r} + 1) \sin(a\bar{\theta})^2}{a^6 \cos(a\bar{\theta})^2 + a^4 \bar{r}^2 + 2a^3\bar{r} + a^2} \right) d\bar{\phi}^2\end{aligned}$$

Donde temos que $\bar{g}(0) = -d\bar{t}^2 + d\bar{r}^2 + d\bar{\theta}^2 + \bar{\theta}^2 d\bar{\phi}^2$ é uma solução no vácuo plana.

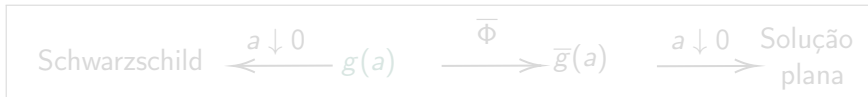


O limite sobre as componentes da métrica

Neste sistema de coordenadas $g(a)$ é dada por

$$\begin{aligned}\bar{g}(a) = & - \left(\frac{a^4 \cos(a\bar{\theta})^2 + a^2 \bar{r}^2 - 2am - 2(a^2m - a)\bar{r} + 1}{a^4 \cos(a\bar{\theta})^2 + a^2 \bar{r}^2 + 2a\bar{r} + 1} \right) d\bar{t}^2 \\ & - \left(\frac{4(a^3m\bar{r} + a^2m) \sin(a\bar{\theta})^2}{a^4 \cos(a\bar{\theta})^2 + a^2 \bar{r}^2 + 2a\bar{r} + 1} \right) d\bar{t}d\bar{\phi} + \left(\frac{a^4 \cos(a\bar{\theta})^2 + a^2 \bar{r}^2 - 2am - 2(a^2m - a)\bar{r} + 1}{a^4 \cos(a\bar{\theta})^2 + a^2 \bar{r}^2 + 2a\bar{r} + 1} \right) d\bar{r}^2 \\ & + \left(a^4 \cos(a\bar{\theta})^2 + a^2 \bar{r}^2 + 2a\bar{r} + 1 \right) d\bar{\theta}^2 \\ & + \left(\frac{2(a^6m\bar{r} + a^5m) \sin(a\bar{\theta})^4 + (a^4\bar{r}^4 + 4a^3\bar{r}^3 + a^4 + (a^6 + 6a^2)\bar{r}^2 + (a^8 + a^6\bar{r}^2 + 2a^5\bar{r} + a^4) \cos(a\bar{\theta})^2 + 2(a^5 + 2a)\bar{r} + 1) \sin(a\bar{\theta})^2}{a^6 \cos(a\bar{\theta})^2 + a^4 \bar{r}^2 + 2a^3\bar{r} + a^2} \right) d\bar{\phi}^2\end{aligned}$$

Donde temos que $\bar{g}(0) = -d\bar{t}^2 + d\bar{r}^2 + d\bar{\theta}^2 + \bar{\theta}^2 d\bar{\phi}^2$ é uma solução no vácuo plana.

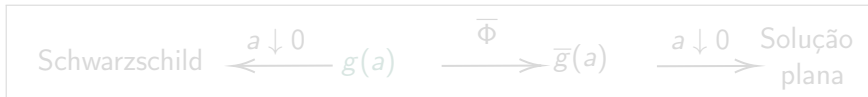


O limite sobre as componentes da métrica

Neste sistema de coordenadas $g(a)$ é dada por

$$\begin{aligned}\bar{g}(a) = & - \left(\frac{a^4 \cos(a\bar{\theta})^2 + a^2 \bar{r}^2 - 2am - 2(a^2m - a)\bar{r} + 1}{a^4 \cos(a\bar{\theta})^2 + a^2 \bar{r}^2 + 2a\bar{r} + 1} \right) d\bar{t}^2 \\ & - \left(\frac{4(a^3m\bar{r} + a^2m) \sin(a\bar{\theta})^2}{a^4 \cos(a\bar{\theta})^2 + a^2 \bar{r}^2 + 2a\bar{r} + 1} \right) d\bar{t}d\bar{\phi} + \left(\frac{a^4 \cos(a\bar{\theta})^2 + a^2 \bar{r}^2 - 2am - 2(a^2m - a)\bar{r} + 1}{a^4 \cos(a\bar{\theta})^2 + a^2 \bar{r}^2 + 2a\bar{r} + 1} \right) d\bar{r}^2 \\ & + \left(a^4 \cos(a\bar{\theta})^2 + a^2 \bar{r}^2 + 2a\bar{r} + 1 \right) d\bar{\theta}^2 \\ & + \left(\frac{2(a^6m\bar{r} + a^5m) \sin(a\bar{\theta})^4 + (a^4\bar{r}^4 + 4a^3\bar{r}^3 + a^4 + (a^6 + 6a^2)\bar{r}^2 + (a^8 + a^6\bar{r}^2 + 2a^5\bar{r} + a^4) \cos(a\bar{\theta})^2 + 2(a^5 + 2a)\bar{r} + 1) \sin(a\bar{\theta})^2}{a^6 \cos(a\bar{\theta})^2 + a^4 \bar{r}^2 + 2a^3\bar{r} + a^2} \right) d\bar{\phi}^2\end{aligned}$$

Donde temos que $\bar{g}(0) = -d\bar{t}^2 + d\bar{r}^2 + d\bar{\theta}^2 + \bar{\theta}^2 d\bar{\phi}^2$ é uma solução no vácuo plana.

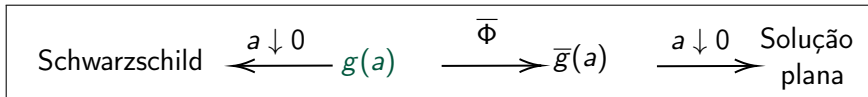


O limite sobre as componentes da métrica

Neste sistema de coordenadas $g(a)$ é dada por

$$\begin{aligned}\bar{g}(a) = & - \left(\frac{a^4 \cos(a\bar{\theta})^2 + a^2 \bar{r}^2 - 2am - 2(a^2m - a)\bar{r} + 1}{a^4 \cos(a\bar{\theta})^2 + a^2 \bar{r}^2 + 2a\bar{r} + 1} \right) d\bar{t}^2 \\ & - \left(\frac{4(a^3m\bar{r} + a^2m) \sin(a\bar{\theta})^2}{a^4 \cos(a\bar{\theta})^2 + a^2 \bar{r}^2 + 2a\bar{r} + 1} \right) d\bar{t}d\bar{\phi} + \left(\frac{a^4 \cos(a\bar{\theta})^2 + a^2 \bar{r}^2 - 2am - 2(a^2m - a)\bar{r} + 1}{a^4 \cos(a\bar{\theta})^2 + a^2 \bar{r}^2 + 2a\bar{r} + 1} \right) d\bar{r}^2 \\ & + \left(a^4 \cos(a\bar{\theta})^2 + a^2 \bar{r}^2 + 2a\bar{r} + 1 \right) d\bar{\theta}^2 \\ & + \left(\frac{2(a^6m\bar{r} + a^5m) \sin(a\bar{\theta})^4 + (a^4\bar{r}^4 + 4a^3\bar{r}^3 + a^4 + (a^6 + 6a^2)\bar{r}^2 + (a^8 + a^6\bar{r}^2 + 2a^5\bar{r} + a^4) \cos(a\bar{\theta})^2 + 2(a^5 + 2a)\bar{r} + 1) \sin(a\bar{\theta})^2}{a^6 \cos(a\bar{\theta})^2 + a^4 \bar{r}^2 + 2a^3\bar{r} + a^2} \right) d\bar{\phi}^2\end{aligned}$$

Donde temos que $\bar{g}(0) = -d\bar{t}^2 + d\bar{r}^2 + d\bar{\theta}^2 + \bar{\theta}^2 d\bar{\phi}^2$ é uma solução no vácuo plana.



Limites de espaços-tempo por Geroch

Limites de espaços-tempo por Geroch

- A definição de limite de espaços-tempo por Geroch
- $(M_\kappa, g(\kappa))$ uma família de espaços-tempo a 1-parâmetro $\kappa > 0$.
- \mathcal{M} uma variedade de dimensão 5 tal que
 - ▶ Para cada κ , M_κ é uma subvariedade quadridimensional de \mathcal{M} .
- λ um campo escalar em \mathcal{M} tal que
 - ▶ Para cada κ , $\lambda^{-1}(\kappa) = M_\kappa$.
- $\gamma^{\alpha\beta}$ um tensor suave em \mathcal{M} tal que
 - ▶ Para cada κ , $\gamma^{\alpha\beta}|_{M_\kappa} = g^{ab}(\kappa)$.
 - ▶ A assinatura de $\gamma^{\alpha\beta}$ é dada por $(-, +, +, +, 0)$, com direção singular dada por $\text{grad}(\lambda)$.

Com esta construção temos que

- Não estamos adicionando nenhuma estrutura a variedade \mathcal{M} , além daquela fornecida pela família $(M_\kappa, g(\kappa))$.
- Não conseguimos estabelecer uma correspondência entre espaços-tempo M_κ 's distintos.
- $\gamma^{\alpha\beta}$ define completamente os espaços-tempo M_κ 's.
- Encontrar um limite para a família $(M_\kappa, g(\kappa))$ equivale a encontrar uma fronteira adequada para \mathcal{M} .

Limites de espaços-tempo por Geroch

- A definição de limite de espaços-tempo por Geroch
- $(M_\kappa, g(\kappa))$ uma família de espaços-tempo a 1-parâmetro $\kappa > 0$.
- \mathcal{M} uma variedade de dimensão 5 tal que
 - ▶ Para cada κ , M_κ é uma subvariedade quadridimensional de \mathcal{M} .
- λ um campo escalar em \mathcal{M} tal que
 - ▶ Para cada κ , $\lambda^{-1}(\kappa) = M_\kappa$.
- $\gamma^{\alpha\beta}$ um tensor suave em \mathcal{M} tal que
 - ▶ Para cada κ , $\gamma^{\alpha\beta}|_{M_\kappa} = g^{ab}(\kappa)$.
 - ▶ A assinatura de $\gamma^{\alpha\beta}$ é dada por $(-, +, +, +, 0)$, com direção singular dada por $\text{grad}(\lambda)$.

Com esta construção temos que

- Não estamos adicionando nenhuma estrutura a variedade \mathcal{M} , além daquela fornecida pela família $(M_\kappa, g(\kappa))$.
- Não conseguimos estabelecer uma correspondência entre espaços-tempo M_κ 's distintos.
- $\gamma^{\alpha\beta}$ define completamente os espaços-tempo M_κ 's.
- Encontrar um limite para a família $(M_\kappa, g(\kappa))$ equivale a encontrar uma fronteira adequada para \mathcal{M} .

Limites de espaços-tempo por Geroch

- A definição de limite de espaços-tempo por Geroch
- $(M_\kappa, g(\kappa))$ uma família de espaços-tempo a 1-parâmetro $\kappa > 0$.
- \mathcal{M} uma variedade de dimensão 5 tal que
 - ▶ Para cada κ , M_κ é uma subvariedade quadridimensional de \mathcal{M} .
- λ um campo escalar em \mathcal{M} tal que
 - ▶ Para cada κ , $\lambda^{-1}(\kappa) = M_\kappa$.
- $\gamma^{\alpha\beta}$ um tensor suave em \mathcal{M} tal que
 - ▶ Para cada κ , $\gamma^{\alpha\beta}|_{M_\kappa} = g^{ab}(\kappa)$.
 - ▶ A assinatura de $\gamma^{\alpha\beta}$ é dada por $(-, +, +, +, 0)$, com direção singular dada por $\text{grad}(\lambda)$.

Com esta construção temos que

- Não estamos adicionando nenhuma estrutura a variedade \mathcal{M} , além daquela fornecida pela família $(M_\kappa, g(\kappa))$.
- Não conseguimos estabelecer uma correspondência entre espaços-tempo M_κ 's distintos.
- $\gamma^{\alpha\beta}$ define completamente os espaços-tempo M_κ 's.
- Encontrar um limite para a família $(M_\kappa, g(\kappa))$ equivale a encontrar uma fronteira adequada para \mathcal{M} .

Limites de espaços-tempo por Geroch

- A definição de limite de espaços-tempo por Geroch
- $(M_\kappa, g(\kappa))$ uma família de espaços-tempo a 1-parâmetro $\kappa > 0$.
- \mathcal{M} uma variedade de dimensão 5 tal que
 - ▶ Para cada κ , M_κ é uma subvariedade quadridimensional de \mathcal{M} .
- λ um campo escalar em \mathcal{M} tal que
 - ▶ Para cada κ , $\lambda^{-1}(\kappa) = M_\kappa$.
- $\gamma^{\alpha\beta}$ um tensor suave em \mathcal{M} tal que
 - ▶ Para cada κ , $\gamma^{\alpha\beta}|_{M_\kappa} = g^{ab}(\kappa)$.
 - ▶ A assinatura de $\gamma^{\alpha\beta}$ é dada por $(-, +, +, +, 0)$, com direção singular dada por $\text{grad}(\lambda)$.

Com esta construção temos que

- Não estamos adicionando nenhuma estrutura a variedade \mathcal{M} , além daquela fornecida pela família $(M_\kappa, g(\kappa))$.
- Não conseguimos estabelecer uma correspondência entre espaços-tempo M_κ 's distintos.
- $\gamma^{\alpha\beta}$ define completamente os espaços-tempo M_κ 's.
- Encontrar um limite para a família $(M_\kappa, g(\kappa))$ equivale a encontrar uma fronteira adequada para \mathcal{M} .

Limites de espaços-tempo por Geroch

- A definição de limite de espaços-tempo por Geroch
- $(M_\kappa, g(\kappa))$ uma família de espaços-tempo a 1-parâmetro $\kappa > 0$.
- \mathcal{M} uma variedade de dimensão 5 tal que
 - ▶ Para cada κ , M_κ é uma subvariedade quadridimensional de \mathcal{M} .
- λ um campo escalar em \mathcal{M} tal que
 - ▶ Para cada κ , $\lambda^{-1}(\kappa) = M_\kappa$.
- $\gamma^{\alpha\beta}$ um tensor suave em \mathcal{M} tal que
 - ▶ Para cada κ , $\gamma^{\alpha\beta}|_{M_\kappa} = g^{ab}(\kappa)$.
 - ▶ A assinatura de $\gamma^{\alpha\beta}$ é dada por $(-, +, +, +, 0)$, com direção singular dada por $\text{grad}(\lambda)$.

Com esta construção temos que

- Não estamos adicionando nenhuma estrutura a variedade \mathcal{M} , além daquela fornecida pela família $(M_\kappa, g(\kappa))$.
- Não conseguimos estabelecer uma correspondência entre espaços-tempo M_κ 's distintos.
- $\gamma^{\alpha\beta}$ define completamente os espaços-tempo M_κ 's.
- Encontrar um limite para a família $(M_\kappa, g(\kappa))$ equivale a encontrar uma fronteira adequada para \mathcal{M} .

Limites de espaços-tempo por Geroch

- A definição de limite de espaços-tempo por Geroch
- $(M_\kappa, g(\kappa))$ uma família de espaços-tempo a 1-parâmetro $\kappa > 0$.
- \mathcal{M} uma variedade de dimensão 5 tal que
 - ▶ Para cada κ , M_κ é uma subvariedade quadridimensional de \mathcal{M} .
- λ um campo escalar em \mathcal{M} tal que
 - ▶ Para cada κ , $\lambda^{-1}(\kappa) = M_\kappa$.
- $\gamma^{\alpha\beta}$ um tensor suave em \mathcal{M} tal que
 - ▶ Para cada κ , $\gamma^{\alpha\beta}|_{M_\kappa} = g^{ab}(\kappa)$.
 - ▶ A assinatura de $\gamma^{\alpha\beta}$ é dada por $(-, +, +, +, 0)$, com direção singular dada por $\text{grad}(\lambda)$.

Com esta construção temos que

- Não estamos adicionando nenhuma estrutura a variedade \mathcal{M} , além daquela fornecida pela família $(M_\kappa, g(\kappa))$.
- Não conseguimos estabelecer uma correspondência entre espaços-tempo M_κ 's distintos.
- $\gamma^{\alpha\beta}$ define completamente os espaços-tempo M_κ 's.
- Encontrar um limite para a família $(M_\kappa, g(\kappa))$ equivale a encontrar uma fronteira adequada para \mathcal{M} .

Limites de espaços-tempo por Geroch

- A definição de limite de espaços-tempo por Geroch
- $(M_\kappa, g(\kappa))$ uma família de espaços-tempo a 1-parâmetro $\kappa > 0$.
- \mathcal{M} uma variedade de dimensão 5 tal que
 - ▶ Para cada κ , M_κ é uma subvariedade quadridimensional de \mathcal{M} .
- λ um campo escalar em \mathcal{M} tal que
 - ▶ Para cada κ , $\lambda^{-1}(\kappa) = M_\kappa$.
- $\gamma^{\alpha\beta}$ um tensor suave em \mathcal{M} tal que
 - ▶ Para cada κ , $\gamma^{\alpha\beta}|_{M_\kappa} = g^{ab}(\kappa)$.
 - ▶ A assinatura de $\gamma^{\alpha\beta}$ é dada por $(-, +, +, +, 0)$, com direção singular dada por $\text{grad}(\lambda)$.

Com esta construção temos que

- Não estamos adicionando nenhuma estrutura a variedade \mathcal{M} , além daquela fornecida pela família $(M_\kappa, g(\kappa))$.
- Não conseguimos estabelecer uma correspondência entre espaços-tempo M_κ 's distintos.
- $\gamma^{\alpha\beta}$ define completamente os espaços-tempo M_κ 's.
- Encontrar um limite para a família $(M_\kappa, g(\kappa))$ equivale a encontrar uma fronteira adequada para \mathcal{M} .

Limites de espaços-tempo por Geroch

- A definição de limite de espaços-tempo por Geroch
- $(M_\kappa, g(\kappa))$ uma família de espaços-tempo a 1-parâmetro $\kappa > 0$.
- \mathcal{M} uma variedade de dimensão 5 tal que
 - ▶ Para cada κ , M_κ é uma subvariedade quadridimensional de \mathcal{M} .
- λ um campo escalar em \mathcal{M} tal que
 - ▶ Para cada κ , $\lambda^{-1}(\kappa) = M_\kappa$.
- $\gamma^{\alpha\beta}$ um tensor suave em \mathcal{M} tal que
 - ▶ Para cada κ , $\gamma^{\alpha\beta}|_{M_\kappa} = g^{ab}(\kappa)$.
 - ▶ A assinatura de $\gamma^{\alpha\beta}$ é dada por $(-, +, +, +, 0)$, com direção singular dada por $\text{grad}(\lambda)$.

Com esta construção temos que

- Não estamos adicionando nenhuma estrutura a variedade \mathcal{M} , além daquela fornecida pela família $(M_\kappa, g(\kappa))$.
- Não conseguimos estabelecer uma correspondência entre espaços-tempo M_κ 's distintos.
- $\gamma^{\alpha\beta}$ define completamente os espaços-tempo M_κ 's.
- Encontrar um limite para a família $(M_\kappa, g(\kappa))$ equivale a encontrar uma fronteira adequada para \mathcal{M} .

Limites de espaços-tempo por Geroch

- A definição de limite de espaços-tempo por Geroch
- $(M_\kappa, g(\kappa))$ uma família de espaços-tempo a 1-parâmetro $\kappa > 0$.
- \mathcal{M} uma variedade de dimensão 5 tal que
 - ▶ Para cada κ , M_κ é uma subvariedade quadridimensional de \mathcal{M} .
- λ um campo escalar em \mathcal{M} tal que
 - ▶ Para cada κ , $\lambda^{-1}(\kappa) = M_\kappa$.
- $\gamma^{\alpha\beta}$ um tensor suave em \mathcal{M} tal que
 - ▶ Para cada κ , $\gamma^{\alpha\beta}|_{M_\kappa} = g^{ab}(\kappa)$.
 - ▶ A assinatura de $\gamma^{\alpha\beta}$ é dada por $(-, +, +, +, 0)$, com direção singular dada por $\text{grad}(\lambda)$.

Com esta construção temos que

- Não estamos adicionando nenhuma estrutura a variedade \mathcal{M} , além daquela fornecida pela família $(M_\kappa, g(\kappa))$.
- Não conseguimos estabelecer uma correspondência entre espaços-tempo M_κ 's distintos.
- $\gamma^{\alpha\beta}$ define completamente os espaços-tempo M_κ 's.
- Encontrar um limite para a família $(M_\kappa, g(\kappa))$ equivale a encontrar uma fronteira adequada para \mathcal{M} .

Limites de espaços-tempo por Geroch

- A definição de limite de espaços-tempo por Geroch
- $(M_\kappa, g(\kappa))$ uma família de espaços-tempo a 1-parâmetro $\kappa > 0$.
- \mathcal{M} uma variedade de dimensão 5 tal que
 - ▶ Para cada κ , M_κ é uma subvariedade quadridimensional de \mathcal{M} .
- λ um campo escalar em \mathcal{M} tal que
 - ▶ Para cada κ , $\lambda^{-1}(\kappa) = M_\kappa$.
- $\gamma^{\alpha\beta}$ um tensor suave em \mathcal{M} tal que
 - ▶ Para cada κ , $\gamma^{\alpha\beta}|_{M_\kappa} = g^{ab}(\kappa)$.
 - ▶ A assinatura de $\gamma^{\alpha\beta}$ é dada por $(-, +, +, +, 0)$, com direção singular dada por $\text{grad}(\lambda)$.

Com esta construção temos que

- Não estamos adicionando nenhuma estrutura a variedade \mathcal{M} , além daquela fornecida pela família $(M_\kappa, g(\kappa))$.
- Não conseguimos estabelecer uma correspondência entre espaços-tempo M_κ 's distintos.
- $\gamma^{\alpha\beta}$ define completamente os espaços-tempo M_κ 's.
- Encontrar um limite para a família $(M_\kappa, g(\kappa))$ equivale a encontrar uma fronteira adequada para \mathcal{M} .

Limites de espaços-tempo por Geroch

- A definição de limite de espaços-tempo por Geroch
- $(M_\kappa, g(\kappa))$ uma família de espaços-tempo a 1-parâmetro $\kappa > 0$.
- \mathcal{M} uma variedade de dimensão 5 tal que
 - ▶ Para cada κ , M_κ é uma subvariedade quadridimensional de \mathcal{M} .
- λ um campo escalar em \mathcal{M} tal que
 - ▶ Para cada κ , $\lambda^{-1}(\kappa) = M_\kappa$.
- $\gamma^{\alpha\beta}$ um tensor suave em \mathcal{M} tal que
 - ▶ Para cada κ , $\gamma^{\alpha\beta}|_{M_\kappa} = g^{ab}(\kappa)$.
 - ▶ A assinatura de $\gamma^{\alpha\beta}$ é dada por $(-, +, +, +, 0)$, com direção singular dada por $\text{grad}(\lambda)$.

Com esta construção temos que

- Não estamos adicionando nenhuma estrutura a variedade \mathcal{M} , além daquela fornecida pela família $(M_\kappa, g(\kappa))$.
- Não conseguimos estabelecer uma correspondência entre espaços-tempo M_κ 's distintos.
- $\gamma^{\alpha\beta}$ define completamente os espaços-tempo M_κ 's.
- Encontrar um limite para a família $(M_\kappa, g(\kappa))$ equivale a encontrar uma fronteira adequada para \mathcal{M} .

Limites de espaços-tempo por Geroch

- A definição de limite de espaços-tempo por Geroch
- $(M_\kappa, g(\kappa))$ uma família de espaços-tempo a 1-parâmetro $\kappa > 0$.
- \mathcal{M} uma variedade de dimensão 5 tal que
 - ▶ Para cada κ , M_κ é uma subvariedade quadridimensional de \mathcal{M} .
- λ um campo escalar em \mathcal{M} tal que
 - ▶ Para cada κ , $\lambda^{-1}(\kappa) = M_\kappa$.
- $\gamma^{\alpha\beta}$ um tensor suave em \mathcal{M} tal que
 - ▶ Para cada κ , $\gamma^{\alpha\beta}|_{M_\kappa} = g^{ab}(\kappa)$.
 - ▶ A assinatura de $\gamma^{\alpha\beta}$ é dada por $(-, +, +, +, 0)$, com direção singular dada por $\text{grad}(\lambda)$.

Com esta construção temos que

- Não estamos adicionando nenhuma estrutura a variedade \mathcal{M} , além daquela fornecida pela família $(M_\kappa, g(\kappa))$.
- Não conseguimos estabelecer uma correspondência entre espaços-tempo M_κ 's distintos.
- $\gamma^{\alpha\beta}$ define completamente os espaços-tempo M_κ 's.
- Encontrar um limite para a família $(M_\kappa, g(\kappa))$ equivale a encontrar uma fronteira adequada para \mathcal{M} .

Limites de espaços-tempo por Geroch

- A definição de limite de espaços-tempo por Geroch
- $(M_\kappa, g(\kappa))$ uma família de espaços-tempo a 1-parâmetro $\kappa > 0$.
- \mathcal{M} uma variedade de dimensão 5 tal que
 - ▶ Para cada κ , M_κ é uma subvariedade quadridimensional de \mathcal{M} .
- λ um campo escalar em \mathcal{M} tal que
 - ▶ Para cada κ , $\lambda^{-1}(\kappa) = M_\kappa$.
- $\gamma^{\alpha\beta}$ um tensor suave em \mathcal{M} tal que
 - ▶ Para cada κ , $\gamma^{\alpha\beta}|_{M_\kappa} = g^{ab}(\kappa)$.
 - ▶ A assinatura de $\gamma^{\alpha\beta}$ é dada por $(-, +, +, +, 0)$, com direção singular dada por $\text{grad}(\lambda)$.

Com esta construção temos que

- Não estamos adicionando nenhuma estrutura a variedade \mathcal{M} , além daquela fornecida pela família $(M_\kappa, g(\kappa))$.
- Não conseguimos estabelecer uma correspondência entre espaços-tempo M_κ 's distintos.
- $\gamma^{\alpha\beta}$ define completamente os espaços-tempo M_κ 's.
- Encontrar um limite para a família $(M_\kappa, g(\kappa))$ equivale a encontrar uma fronteira adequada para \mathcal{M} .

Limites de espaços-tempo por Geroch

- A definição de limite de espaços-tempo por Geroch
- $(M_\kappa, g(\kappa))$ uma família de espaços-tempo a 1-parâmetro $\kappa > 0$.
- \mathcal{M} uma variedade de dimensão 5 tal que
 - ▶ Para cada κ , M_κ é uma subvariedade quadridimensional de \mathcal{M} .
- λ um campo escalar em \mathcal{M} tal que
 - ▶ Para cada κ , $\lambda^{-1}(\kappa) = M_\kappa$.
- $\gamma^{\alpha\beta}$ um tensor suave em \mathcal{M} tal que
 - ▶ Para cada κ , $\gamma^{\alpha\beta}|_{M_\kappa} = g^{ab}(\kappa)$.
 - ▶ A assinatura de $\gamma^{\alpha\beta}$ é dada por $(-, +, +, +, 0)$, com direção singular dada por $\text{grad}(\lambda)$.

Com esta construção temos que

- Não estamos adicionando nenhuma estrutura a variedade \mathcal{M} , além daquela fornecida pela família $(M_\kappa, g(\kappa))$.
- Não conseguimos estabelecer uma correspondência entre espaços-tempo M_κ 's distintos.
- $\gamma^{\alpha\beta}$ define completamente os espaços-tempo M_κ 's.
- Encontrar um limite para a família $(M_\kappa, g(\kappa))$ equivale a encontrar uma fronteira adequada para \mathcal{M} .

Limites de espaços-tempo por Geroch

- A definição de limite de espaços-tempo por Geroch
- $(M_\kappa, g(\kappa))$ uma família de espaços-tempo a 1-parâmetro $\kappa > 0$.
- \mathcal{M} uma variedade de dimensão 5 tal que
 - ▶ Para cada κ , M_κ é uma subvariedade quadridimensional de \mathcal{M} .
- λ um campo escalar em \mathcal{M} tal que
 - ▶ Para cada κ , $\lambda^{-1}(\kappa) = M_\kappa$.
- $\gamma^{\alpha\beta}$ um tensor suave em \mathcal{M} tal que
 - ▶ Para cada κ , $\gamma^{\alpha\beta}|_{M_\kappa} = g^{ab}(\kappa)$.
 - ▶ A assinatura de $\gamma^{\alpha\beta}$ é dada por $(-, +, +, +, 0)$, com direção singular dada por $\text{grad}(\lambda)$.

Com esta construção temos que

- Não estamos adicionando nenhuma estrutura a variedade \mathcal{M} , além daquela fornecida pela família $(M_\kappa, g(\kappa))$.
- Não conseguimos estabelecer uma correspondência entre espaços-tempo M_κ 's distintos.
- $\gamma^{\alpha\beta}$ define completamente os espaços-tempo M_κ 's.
- Encontrar um limite para a família $(M_\kappa, g(\kappa))$ equivale a encontrar uma fronteira adequada para \mathcal{M} .

Limites de espaços-tempo por Geroch

Sejam \mathcal{M} uma variedade de dimensão 5 com um campo escalar λ e um tensor suave $\gamma^{\alpha\beta}$.

Definição

*Definimos um **espaço-limite** de \mathcal{M} como sendo uma variedade \mathcal{N} de dimensão 5 com fronteira não-vazia $\partial\mathcal{N}$ juntamente com um campo escalar λ' , um tensor $g^{\alpha\beta}$ e uma aplicação Ψ de \mathcal{M} para o interior de \mathcal{N} tais que*

- ❶ *Ψ leva $\gamma^{\alpha\beta}$ em $g^{\alpha\beta}$ e λ em λ' .*
- ❷ *$\partial\mathcal{N}$ é a região conexa e de Hausdorff tal que $\partial\mathcal{N} = (\lambda')^{-1}(0)$.*
- ❸ *$g^{\alpha\beta}$ tem assinatura $(-, +, +, +, 0)$ em $\partial\mathcal{N}$.*

- ❶ Garante que \mathcal{N} representa \mathcal{M} com fronteira não-vazia.
- ❷ Garante que a fronteira representa o limite quando tomamos $\lambda \rightarrow 0$.
- ❸ Garante que a métrica na fronteira é não-singular.

Limites de espaços-tempo por Geroch

Sejam \mathcal{M} uma variedade de dimensão 5 com um campo escalar λ e um tensor suave $\gamma^{\alpha\beta}$.

Definição

Definimos um **espaço-limite** de \mathcal{M} como sendo uma variedade \mathcal{N} de dimensão 5 com fronteira não-vazia $\partial\mathcal{N}$ juntamente com um campo escalar λ' , um tensor $g^{\alpha\beta}$ e uma aplicação Ψ de \mathcal{M} para o interior de \mathcal{N} tais que

- 1 Ψ leva $\gamma^{\alpha\beta}$ em $g^{\alpha\beta}$ e λ em λ' .
- 2 $\partial\mathcal{N}$ é a região conexa e de Hausdorff tal que $\partial\mathcal{N} = (\lambda')^{-1}(0)$.
- 3 $g^{\alpha\beta}$ tem assinatura $(-, +, +, +, 0)$ em $\partial\mathcal{N}$.

- 1 Garante que \mathcal{N} representa \mathcal{M} com fronteira não-vazia.
- 2 Garante que a fronteira representa o limite quando tomamos $\lambda \rightarrow 0$.
- 3 Garante que a métrica na fronteira é não-singular.

Limites de espaços-tempo por Geroch

Sejam \mathcal{M} uma variedade de dimensão 5 com um campo escalar λ e um tensor suave $\gamma^{\alpha\beta}$.

Definição

Definimos um **espaço-limite** de \mathcal{M} como sendo uma variedade \mathcal{N} de dimensão 5 com fronteira não-vazia $\partial\mathcal{N}$ juntamente com um campo escalar λ' , um tensor $g^{\alpha\beta}$ e uma aplicação Ψ de \mathcal{M} para o interior de \mathcal{N} tais que

- 1 Ψ leva $\gamma^{\alpha\beta}$ em $g^{\alpha\beta}$ e λ em λ' .
- 2 $\partial\mathcal{N}$ é a região conexa e de Hausdorff tal que $\partial\mathcal{N} = (\lambda')^{-1}(0)$.
- 3 $g^{\alpha\beta}$ tem assinatura $(-, +, +, +, 0)$ em $\partial\mathcal{N}$.

- 1 Garante que \mathcal{N} representa \mathcal{M} com fronteira não-vazia.
- 2 Garante que a fronteira representa o limite quando tomamos $\lambda \rightarrow 0$.
- 3 Garante que a métrica na fronteira é não-singular.

Limites de espaços-tempo por Geroch

Sejam \mathcal{M} uma variedade de dimensão 5 com um campo escalar λ e um tensor suave $\gamma^{\alpha\beta}$.

Definição

Definimos um **espaço-limite** de \mathcal{M} como sendo uma variedade \mathcal{N} de dimensão 5 com fronteira não-vazia $\partial\mathcal{N}$ juntamente com um campo escalar λ' , um tensor $g^{\alpha\beta}$ e uma aplicação Ψ de \mathcal{M} para o interior de \mathcal{N} tais que

- 1 Ψ leva $\gamma^{\alpha\beta}$ em $g^{\alpha\beta}$ e λ em λ' .
 - 2 $\partial\mathcal{N}$ é a região conexa e de Hausdorff tal que $\partial\mathcal{N} = (\lambda')^{-1}(0)$.
 - 3 $g^{\alpha\beta}$ tem assinatura $(-, +, +, +, 0)$ em $\partial\mathcal{N}$.
-
- 1 Garante que \mathcal{N} representa \mathcal{M} com fronteira não-vazia.
 - 2 Garante que a fronteira representa o limite quando tomamos $\lambda \rightarrow 0$.
 - 3 Garante que a métrica na fronteira é não-singular.

Limites de espaços-tempo por Geroch

Sejam \mathcal{M} uma variedade de dimensão 5 com um campo escalar λ e um tensor suave $\gamma^{\alpha\beta}$.

Definição

Definimos um **espaço-limite** de \mathcal{M} como sendo uma variedade \mathcal{N} de dimensão 5 com fronteira não-vazia $\partial\mathcal{N}$ juntamente com um campo escalar λ' , um tensor $g^{\alpha\beta}$ e uma aplicação Ψ de \mathcal{M} para o interior de \mathcal{N} tais que

- 1 Ψ leva $\gamma^{\alpha\beta}$ em $g^{\alpha\beta}$ e λ em λ' .
 - 2 $\partial\mathcal{N}$ é a região conexa e de Hausdorff tal que $\partial\mathcal{N} = (\lambda')^{-1}(0)$.
 - 3 $g^{\alpha\beta}$ tem assinatura $(-, +, +, +, 0)$ em $\partial\mathcal{N}$.
-
- 1 Garante que \mathcal{N} representa \mathcal{M} com fronteira não-vazia.
 - 2 Garante que a fronteira representa o limite quando tomamos $\lambda \rightarrow 0$.
 - 3 Garante que a métrica na fronteira é não-singular.

Limites de espaços-tempo por Geroch

Definição

Sejam \mathcal{N}_1 e \mathcal{N}_2 espaços-limite em \mathcal{M} . Dizemos que \mathcal{N}_1 é uma **extensão** de \mathcal{N}_2 se existe uma aplicação suave $\Phi : \mathcal{N}_1 \rightarrow \mathcal{N}_2$ que preserva $\gamma^{\alpha\beta}$ e é invariante sobre \mathcal{M} .

Definição

Seja $(M_\kappa, g(\kappa))$ a família de espaços-tempo associada a \mathcal{M} e, para cada κ , $p_\kappa \in M_\kappa$. Uma **família de referenciais** em \mathcal{M} é uma base tetrádica ortonormal $\omega^a(\kappa)$ no espaço cotangente em p_κ que é suave na curva em \mathcal{M} formada pelos pontos p_κ .

Limites de espaços-tempo por Geroch

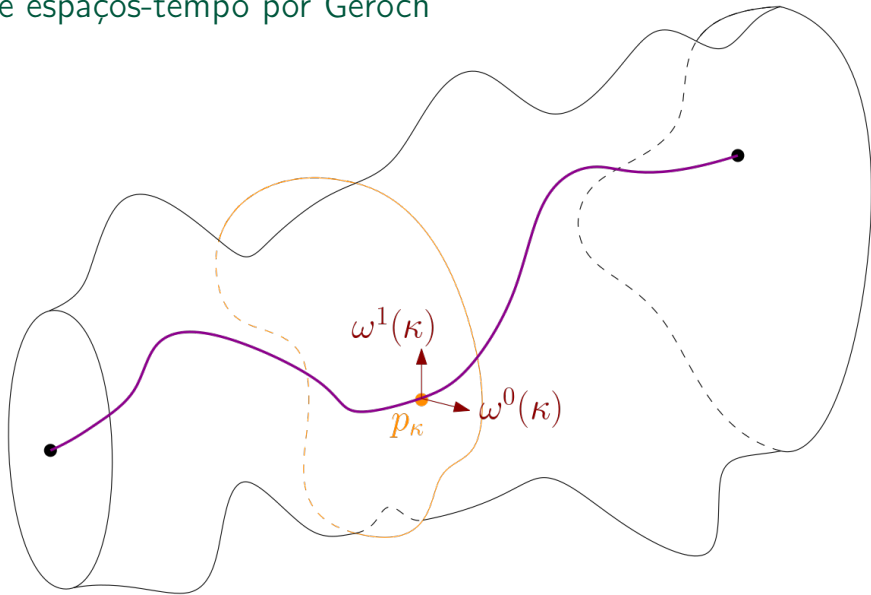
Definição

Sejam \mathcal{N}_1 e \mathcal{N}_2 espaços-limite em \mathcal{M} . Dizemos que \mathcal{N}_1 é uma **extensão** de \mathcal{N}_2 se existe uma aplicação suave $\Phi : \mathcal{N}_1 \rightarrow \mathcal{N}_2$ que preserva $\gamma^{\alpha\beta}$ e é invariante sobre \mathcal{M} .

Definição

Seja $(M_\kappa, g(\kappa))$ a família de espaços-tempo associada a \mathcal{M} e, para cada κ , $p_\kappa \in M_\kappa$. Uma **família de referenciais** em \mathcal{M} é uma base tetrádica ortonormal $\omega^a(\kappa)$ no espaço cotangente em p_κ que é suave na curva em \mathcal{M} formada pelos pontos p_κ .

Limites de espaços-tempo por Geroch



Limites de espaços-tempo por Geroch

Teorema (Teorema de Rigidez)

Sejam M e M' dois espaços-tempo conexos tais que M é isométrico a um subconjunto de M' e ω uma base tetrádica ortonormal em $p \in M$ e ω' uma base tetrádica ortonormal em $p' \in M'$. Então existe uma única isometria de M em M' que leva ω em ω' .

Teorema (Unicidade do espaço-limite)

Se \mathcal{N} um espaço-limite em \mathcal{M} então \mathcal{N} tem uma única extensão $\overline{\mathcal{M}}$ tal que

- 1 $\overline{\mathcal{M}}$ não tem extensões próprias.*
- 2 $\overline{\mathcal{M}}$ é uma extensão para toda extensão de \mathcal{N} .*

Corolário

Toda família de referenciais ou não possuem um espaço-limite ou possuem um espaço-limite que é “maximal” no sentido do Teorema da unicidade do espaço-limite.

Limites de espaços-tempo por Geroch

Teorema (Teorema de Rigidez)

Sejam M e M' dois espaços-tempo conexos tais que M é isométrico a um subconjunto de M' e ω uma base tetrádica ortonormal em $p \in M$ e ω' uma base tetrádica ortonormal em $p' \in M'$. Então existe uma única isometria de M em M' que leva ω em ω' .

Teorema (Unicidade do espaço-limite)

Se \mathcal{N} um espaço-limite em \mathcal{M} então \mathcal{N} tem uma única extensão $\overline{\mathcal{M}}$ tal que

- ① $\overline{\mathcal{M}}$ não tem extensões próprias.*
- ② $\overline{\mathcal{M}}$ é uma extensão para toda extensão de \mathcal{N} .*

Corolário

Toda família de referenciais ou não possuem um espaço-limite ou possuem um espaço-limite que é “maximal” no sentido do Teorema da unicidade do espaço-limite.

Limites de espaços-tempo por Geroch

Teorema (Teorema de Rigidez)

Sejam M e M' dois espaços-tempo conexos tais que M é isométrico a um subconjunto de M' e ω uma base tetrádica ortonormal em $p \in M$ e ω' uma base tetrádica ortonormal em $p' \in M'$. Então existe uma única isometria de M em M' que leva ω em ω' .

Teorema (Unicidade do espaço-limite)

Se \mathcal{N} um espaço-limite em \mathcal{M} então \mathcal{N} tem uma única extensão $\overline{\mathcal{M}}$ tal que

- ❶ $\overline{\mathcal{M}}$ não tem extensões próprias.
- ❷ $\overline{\mathcal{M}}$ é uma extensão para toda extensão de \mathcal{N} .

Corolário

Toda família de referenciais ou não possuem um espaço-limite ou possuem um espaço-limite que é “maximal” no sentido do Teorema da unicidade do espaço-limite.

Limites de espaços-tempo por Geroch

- Hereditariedade

Definição

*Seja $(M_\kappa, g(\kappa))$ uma família de espaços-tempo. Uma propriedade de espaços-tempo será dita **hereditária** se, sempre que todo elemento da família possuir esta propriedade, então todos os espaços-limite também a possuem.*

- ✓ Tensores construídos a partir do tensor de Riemann e suas derivadas que se anulam em cada M_λ , por exemplo as equações de Einstein no vácuo.
- × Propriedades topológicas, como os grupos de homologia e homotopia.

Uma classificação das propriedades entre hereditárias e não-hereditárias facilitam na descrição dos espaços-limite.

Limites de espaços-tempo por Geroch

- Hereditariedade

Definição

*Seja $(M_\kappa, g(\kappa))$ uma família de espaços-tempo. Uma propriedade de espaços-tempo será dita **hereditária** se, sempre que todo elemento da família possuir esta propriedade, então todos os espaços-limite também a possuem.*

- ✓ Tensores construídos a partir do tensor de Riemann e suas derivadas que se anulam em cada M_λ , por exemplo as equações de Einstein no vácuo.
- × Propriedades topológicas, como os grupos de homologia e homotopia.

Uma classificação das propriedades entre hereditárias e não-hereditárias facilitam na descrição dos espaços-limite.

Limites de espaços-tempo por Geroch

- Hereditariedade

Definição

*Seja $(M_\kappa, g(\kappa))$ uma família de espaços-tempo. Uma propriedade de espaços-tempo será dita **hereditária** se, sempre que todo elemento da família possuir esta propriedade, então todos os espaços-limite também a possuem.*

- ✓ Tensores construídos a partir do tensor de Riemann e suas derivadas que se anulam em cada M_λ , por exemplo as equações de Einstein no vácuo.
- × Propriedades topológicas, como os grupos de homologia e homotopia.

Uma classificação das propriedades entre hereditárias e não-hereditárias facilitam na descrição dos espaços-limite.

Limites de espaços-tempo por Geroch

- Hereditariedade

Definição

*Seja $(M_\kappa, g(\kappa))$ uma família de espaços-tempo. Uma propriedade de espaços-tempo será dita **hereditária** se, sempre que todo elemento da família possuir esta propriedade, então todos os espaços-limite também a possuem.*

- ✓ Tensores construídos a partir do tensor de Riemann e suas derivadas que se anulam em cada M_λ , por exemplo as equações de Einstein no vácuo.
- × Propriedades topológicas, como os grupos de homologia e homotopia.

Uma classificação das propriedades entre hereditárias e não-hereditárias facilitam na descrição dos espaços-limite.

Limites de espaços-tempo por Geroch

- Hereditariedade

Definição

*Seja $(M_\kappa, g(\kappa))$ uma família de espaços-tempo. Uma propriedade de espaços-tempo será dita **hereditária** se, sempre que todo elemento da família possuir esta propriedade, então todos os espaços-limite também a possuem.*

- ✓ Tensores construídos a partir do tensor de Riemann e suas derivadas que se anulam em cada M_λ , por exemplo as equações de Einstein no vácuo.
- ✗ Propriedades topológicas, como os grupos de homologia e homotopia.

Uma classificação das propriedades entre hereditárias e não-hereditárias facilitam na descrição dos espaços-limite.

Um exemplo

Um exemplo

- O espaço de Anti-De Sitter

M uma variedade de dimensão 4, conexa e de Hausdorff.

ds^2 uma métrica indefinida em M dada por

$$ds^2 = dX^2 + dY^2 - dU^2 - dV^2.$$

O espaço de Anti-De Sitter AdS_3 é a hipersuperfície dada implicitamente por

$$X^2 + Y^2 - U^2 - V^2 = -1.$$

Uma maneira de visualizarmos este espaço é utilizando as coordenadas (t, x, y) dadas por

$$\begin{cases} X &= \frac{2x}{1-\rho^2} \\ Y &= \frac{2y}{1-\rho^2} \end{cases} \quad \begin{cases} U &= \frac{1+\rho^2}{1-\rho^2} \sin(t) \\ V &= \frac{1+\rho^2}{1-\rho^2} \cos(t) \end{cases}$$

onde $\rho^2 = x^2 + y^2$ e $\rho \neq 1$.

Um exemplo

- O espaço de Anti-De Sitter

M uma variedade de dimensão 4, conexa e de Hausdorff.

ds^2 uma métrica indefinida em M dada por

$$ds^2 = dX^2 + dY^2 - dU^2 - dV^2.$$

O espaço de Anti-De Sitter AdS_3 é a hipersuperfície dada implicitamente por

$$X^2 + Y^2 - U^2 - V^2 = -1.$$

Uma maneira de visualizarmos este espaço é utilizando as coordenadas (t, x, y) dadas por

$$\begin{cases} X &= \frac{2x}{1-\rho^2} \\ Y &= \frac{2y}{1-\rho^2} \end{cases} \quad \begin{cases} U &= \frac{1+\rho^2}{1-\rho^2} \sin(t) \\ V &= \frac{1+\rho^2}{1-\rho^2} \cos(t) \end{cases}$$

onde $\rho^2 = x^2 + y^2$ e $\rho \neq 1$.

Um exemplo

- O espaço de Anti-De Sitter

M uma variedade de dimensão 4, conexa e de Hausdorff.

ds^2 uma métrica indefinida em M dada por

$$ds^2 = dX^2 + dY^2 - dU^2 - dV^2.$$

O espaço de Anti-De Sitter AdS_3 é a hipersuperfície dada implicitamente por

$$X^2 + Y^2 - U^2 - V^2 = -1.$$

Uma maneira de visualizarmos este espaço é utilizando as coordenadas (t, x, y) dadas por

$$\begin{cases} X = \frac{2x}{1 - \rho^2} \\ Y = \frac{2y}{1 - \rho^2} \end{cases} \quad \begin{cases} U = \frac{1 + \rho^2}{1 - \rho^2} \sin(t) \\ V = \frac{1 + \rho^2}{1 - \rho^2} \cos(t) \end{cases}$$

onde $\rho^2 = x^2 + y^2$ e $\rho \neq 1$.

Um exemplo

- O espaço de Anti-De Sitter

M uma variedade de dimensão 4, conexa e de Hausdorff.

ds^2 uma métrica indefinida em M dada por

$$ds^2 = dX^2 + dY^2 - dU^2 - dV^2.$$

O espaço de Anti-De Sitter AdS_3 é a hipersuperfície dada implicitamente por

$$X^2 + Y^2 - U^2 - V^2 = -1.$$

Uma maneira de visualizarmos este espaço é utilizando as coordenadas (t, x, y) dadas por

$$\begin{cases} X = \frac{2x}{1 - \rho^2} \\ Y = \frac{2y}{1 - \rho^2} \end{cases} \quad \begin{cases} U = \frac{1 + \rho^2}{1 - \rho^2} \sin(t) \\ V = \frac{1 + \rho^2}{1 - \rho^2} \cos(t) \end{cases}$$

onde $\rho^2 = x^2 + y^2$ e $\rho \neq 1$.

Um exemplo

- O espaço de Anti-De Sitter

M uma variedade de dimensão 4, conexa e de Hausdorff.

ds^2 uma métrica indefinida em M dada por

$$ds^2 = dX^2 + dY^2 - dU^2 - dV^2.$$

O espaço de Anti-De Sitter AdS_3 é a hipersuperfície dada implicitamente por

$$X^2 + Y^2 - U^2 - V^2 = -1.$$

Uma maneira de visualizarmos este espaço é utilizando as coordenadas (t, x, y) dadas por

$$\begin{cases} X = \frac{2x}{1 - \rho^2} \\ Y = \frac{2y}{1 - \rho^2} \end{cases} \quad \begin{cases} U = \frac{1 + \rho^2}{1 - \rho^2} \sin(t) \\ V = \frac{1 + \rho^2}{1 - \rho^2} \cos(t) \end{cases}$$

onde $\rho^2 = x^2 + y^2$ e $\rho \neq 1$.

Um exemplo

- O espaço de Anti-De Sitter

M uma variedade de dimensão 4, conexa e de Hausdorff.

ds^2 uma métrica indefinida em M dada por

$$ds^2 = dX^2 + dY^2 - dU^2 - dV^2.$$

O espaço de Anti-De Sitter AdS_3 é a hipersuperfície dada implicitamente por

$$X^2 + Y^2 - U^2 - V^2 = -1.$$

Uma maneira de visualizarmos este espaço é utilizando as coordenadas (t, x, y) dadas por

$$\begin{cases} X = \frac{2x}{1-\rho^2} \\ Y = \frac{2y}{1-\rho^2} \end{cases} \quad \begin{cases} U = \frac{1+\rho^2}{1-\rho^2} \sin(t) \\ V = \frac{1+\rho^2}{1-\rho^2} \cos(t) \end{cases}$$

onde $\rho^2 = x^2 + y^2$ e $\rho \neq 1$.

Um exemplo

- O espaço de Anti-De Sitter

M uma variedade de dimensão 4, conexa e de Hausdorff.

ds^2 uma métrica indefinida em M dada por

$$ds^2 = dX^2 + dY^2 - dU^2 - dV^2.$$

O espaço de Anti-De Sitter AdS_3 é a hipersuperfície dada implicitamente por

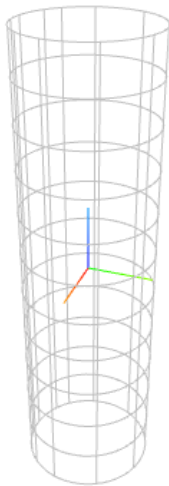
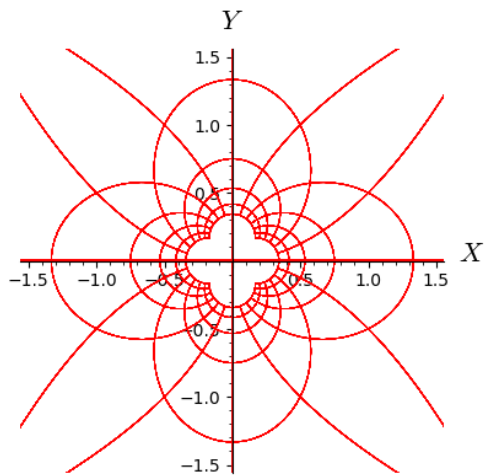
$$X^2 + Y^2 - U^2 - V^2 = -1.$$

Uma maneira de visualizarmos este espaço é utilizando as coordenadas (t, x, y) dadas por

$$\begin{cases} X = \frac{2x}{1-\rho^2} \\ Y = \frac{2y}{1-\rho^2} \end{cases} \quad \begin{cases} U = \frac{1+\rho^2}{1-\rho^2} \sin(t) \\ V = \frac{1+\rho^2}{1-\rho^2} \cos(t) \end{cases}$$

onde $\rho^2 = x^2 + y^2$ e $\rho \neq 1$.

Um exemplo



Um exemplo

- Um mergulho no espaço de Anti-De Sitter

Considere a família de métricas $g(\lambda)$ a 1-parâmetro ($\lambda > 0$) com simetria esférica dada por

$$g(\lambda) = -f(r)dt^2 + \frac{1}{f(r)}dr^2 + r^2d\theta^2 + r^2\sin^2(\theta)d\phi^2,$$

onde f é uma função. Pela simetria esférica podemos considerar somente a família de espaços bidimensionais Σ descritos pela família de métricas a 1-parâmetro

$$\gamma(\lambda) = -f(r)dt^2 + \frac{1}{f(r)}dr^2.$$

Um exemplo

- Um mergulho no espaço de Anti-De Sitter

Considere a família de métricas $g(\lambda)$ a 1-parâmetro ($\lambda > 0$) com simetria esférica dada por

$$g(\lambda) = -f(r)dt^2 + \frac{1}{f(r)}dr^2 + r^2d\theta^2 + r^2\sin^2(\theta)d\phi^2,$$

onde f é uma função. Pela simetria esférica podemos considerar somente a família de espaços bidimensionais Σ descritos pela família de métricas a 1-parâmetro

$$\gamma(\lambda) = -f(r)dt^2 + \frac{1}{f(r)}dr^2.$$

Um exemplo

- Um mergulho no espaço de Anti-De Sitter

Considere a família de métricas $g(\lambda)$ a 1-parâmetro ($\lambda > 0$) com simetria esférica dada por

$$g(\lambda) = -f(r)dt^2 + \frac{1}{f(r)}dr^2 + r^2d\theta^2 + r^2\sin^2(\theta)d\phi^2,$$

onde f é uma função. Pela simetria esférica podemos considerar somente a família de espaços bidimensionais Σ descritos pela família de métricas a 1-parâmetro

$$\gamma(\lambda) = -f(r)dt^2 + \frac{1}{f(r)}dr^2.$$

Um exemplo

- Um mergulho no espaço de Anti-De Sitter

Considere a família de métricas $g(\lambda)$ a 1-parâmetro ($\lambda > 0$) com simetria esférica dada por

$$g(\lambda) = -f(r)dt^2 + \frac{1}{f(r)}dr^2 + r^2d\theta^2 + r^2\sin^2(\theta)d\phi^2,$$

onde f é uma função. Pela simetria esférica podemos considerar somente a família de espaços bidimensionais Σ descritos pela família de métricas a 1-parâmetro

$$\gamma(\lambda) = -f(r)dt^2 + \frac{1}{f(r)}dr^2.$$

Um exemplo

- Um mergulho no espaço de Anti-De Sitter

Considere a família de métricas $g(\lambda)$ a 1-parâmetro ($\lambda > 0$) com simetria esférica dada por

$$g(\lambda) = -f(r)dt^2 + \frac{1}{f(r)}dr^2 + r^2d\theta^2 + r^2\sin^2(\theta)d\phi^2,$$

onde f é uma função. Pela simetria esférica podemos considerar somente a família de espaços bidimensionais Σ descritos pela família de métricas a 1-parâmetro

$$\gamma(\lambda) = -f(r)dt^2 + \frac{1}{f(r)}dr^2.$$

Um exemplo

Considere o seguinte mergulho de Σ em AdS_3 :

$$\begin{cases} X &= \sqrt{1 + a^2 f(r)} \sinh(g(r)) \\ Y &= a\sqrt{f(r)} \cosh\left(\frac{t}{a}\right) \end{cases} \quad \begin{cases} U &= a\sqrt{f(r)} \sinh\left(\frac{t}{a}\right) \\ V &= \sqrt{1 + a^2 f(r)} \cosh(g(r)) \end{cases}$$

onde a é uma constante que tomaremos como sendo $\frac{1}{a} = \frac{1}{2} \left. \frac{df}{dr} \right|_{r=r_0}$.

Note que $X^2 + Y^2 - U^2 - V^2 = -1$.

Além disso, queremos que este mergulho seja isométrico e isso ocorre quando a função $g(r)$ satisfaz a seguinte equação diferencial

$$(g'(r))^2 = \frac{1 + a^2 f(r) - \frac{a^2 f'(r)}{4}}{f(1 + a^2 f(r))^2}.$$

A escolha de $g(r_0) = 0$ identifica diferentes pontos de Σ no ponto $(X, Y, U, V) = (0, 0, 0, 1)$ do espaço ambiente (AdS_3).

Um exemplo

Considere o seguinte mergulho de Σ em AdS_3 :

$$\begin{cases} X &= \sqrt{1 + a^2 f(r)} \sinh(g(r)) \\ Y &= a \sqrt{f(r)} \cosh\left(\frac{t}{a}\right) \end{cases} \quad \begin{cases} U &= a \sqrt{f(r)} \sinh\left(\frac{t}{a}\right) \\ V &= \sqrt{1 + a^2 f(r)} \cosh(g(r)) \end{cases}$$

onde a é uma constante que tomaremos como sendo $\frac{1}{a} = \frac{1}{2} \left. \frac{df}{dr} \right|_{r=r_0}$.

Note que $X^2 + Y^2 - U^2 - V^2 = -1$.

Além disso, queremos que este mergulho seja isométrico e isso ocorre quando a função $g(r)$ satisfaz a seguinte equação diferencial

$$(g'(r))^2 = \frac{1 + a^2 f(r) - \frac{a^2 f'(r)}{4}}{f(1 + a^2 f(r))^2}.$$

A escolha de $g(r_0) = 0$ identifica diferentes pontos de Σ no ponto $(X, Y, U, V) = (0, 0, 0, 1)$ do espaço ambiente (AdS_3).

Um exemplo

Considere o seguinte mergulho de Σ em AdS_3 :

$$\begin{cases} X &= \sqrt{1 + a^2 f(r)} \sinh(g(r)) \\ Y &= a \sqrt{f(r)} \cosh\left(\frac{t}{a}\right) \end{cases} \quad \begin{cases} U &= a \sqrt{f(r)} \sinh\left(\frac{t}{a}\right) \\ V &= \sqrt{1 + a^2 f(r)} \cosh(g(r)) \end{cases}$$

onde a é uma constante que tomaremos como sendo $\frac{1}{a} = \frac{1}{2} \left. \frac{df}{dr} \right|_{r=r_0}$.

Note que $X^2 + Y^2 - U^2 - V^2 = -1$.

Além disso, queremos que este mergulho seja isométrico e isso ocorre quando a função $g(r)$ satisfaz a seguinte equação diferencial

$$(g'(r))^2 = \frac{1 + a^2 f(r) - \frac{a^2 f'(r)}{4}}{f(1 + a^2 f(r))^2}.$$

A escolha de $g(r_0) = 0$ identifica diferentes pontos de Σ no ponto $(X, Y, U, V) = (0, 0, 0, 1)$ do espaço ambiente (AdS_3).

Um exemplo

Considere o seguinte mergulho de Σ em AdS_3 :

$$\begin{cases} X &= \sqrt{1 + a^2 f(r)} \sinh(g(r)) \\ Y &= a \sqrt{f(r)} \cosh\left(\frac{t}{a}\right) \end{cases} \quad \begin{cases} U &= a \sqrt{f(r)} \sinh\left(\frac{t}{a}\right) \\ V &= \sqrt{1 + a^2 f(r)} \cosh(g(r)) \end{cases}$$

onde a é uma constante que tomaremos como sendo $\frac{1}{a} = \frac{1}{2} \left. \frac{df}{dr} \right|_{r=r_0}$.

Note que $X^2 + Y^2 - U^2 - V^2 = -1$.

Além disso, queremos que este mergulho seja isométrico e isso ocorre quando a função $g(r)$ satisfaz a seguinte equação diferencial

$$(g'(r))^2 = \frac{1 + a^2 f(r) - \frac{a^2 f'(r)}{4}}{f(1 + a^2 f(r))^2}.$$

A escolha de $g(r_0) = 0$ identifica diferentes pontos de Σ no ponto $(X, Y, U, V) = (0, 0, 0, 1)$ do espaço ambiente (AdS_3).

Um exemplo

Considere o seguinte mergulho de Σ em AdS_3 :

$$\begin{cases} X &= \sqrt{1 + a^2 f(r)} \sinh(g(r)) \\ Y &= a \sqrt{f(r)} \cosh\left(\frac{t}{a}\right) \end{cases} \quad \begin{cases} U &= a \sqrt{f(r)} \sinh\left(\frac{t}{a}\right) \\ V &= \sqrt{1 + a^2 f(r)} \cosh(g(r)) \end{cases}$$

onde a é uma constante que tomaremos como sendo $\frac{1}{a} = \frac{1}{2} \frac{df}{dr} \Big|_{r=r_0}$.

Note que $X^2 + Y^2 - U^2 - V^2 = -1$.

Além disso, queremos que este mergulho seja isométrico e isso ocorre quando a função $g(r)$ satisfaz a seguinte equação diferencial

$$(g'(r))^2 = \frac{1 + a^2 f(r) - \frac{a^2 f'(r)}{4}}{f(1 + a^2 f(r))^2}.$$

A escolha de $g(r_0) = 0$ identifica diferentes pontos de Σ no ponto $(X, Y, U, V) = (0, 0, 0, 1)$ do espaço ambiente (AdS_3).

Um exemplo

Considere o seguinte mergulho de Σ em AdS_3 :

$$\begin{cases} X &= \sqrt{1 + a^2 f(r)} \sinh(g(r)) \\ Y &= a \sqrt{f(r)} \cosh\left(\frac{t}{a}\right) \end{cases} \quad \begin{cases} U &= a \sqrt{f(r)} \sinh\left(\frac{t}{a}\right) \\ V &= \sqrt{1 + a^2 f(r)} \cosh(g(r)) \end{cases}$$

onde a é uma constante que tomaremos como sendo $\frac{1}{a} = \frac{1}{2} \frac{df}{dr} \Big|_{r=r_0}$.

Note que $X^2 + Y^2 - U^2 - V^2 = -1$.

Além disso, queremos que este mergulho seja isométrico e isso ocorre quando a função $g(r)$ satisfaz a seguinte equação diferencial

$$(g'(r))^2 = \frac{1 + a^2 f(r) - \frac{a^2 f'(r)}{4}}{f(1 + a^2 f(r))^2}.$$

A escolha de $g(r_0) = 0$ identifica diferentes pontos de Σ no ponto $(X, Y, U, V) = (0, 0, 0, 1)$ do espaço ambiente (AdS_3).

Um exemplo

```
M = Manifold(4, 'M', latex_name='M', structure='pseudo-Riemannian', signature=2+2)
ChartM.<X,Y,U,V> = M.chart()
ChartM
```

$(M, (X, Y, U, V))$

Um exemplo

```
M = Manifold(4, 'M', latex_name='M', structure='pseudo-Riemannian', signature=2+2)
ChartM.<X,Y,U,V> = M.chart()
ChartM
```

$$(M, (X, Y, U, V))$$

```
gM = M.metric()
gM[0,0] = 1
gM[1,1] = 1
gM[2,2] = -1
gM[3,3] = -1
gM.display()
```

$$g = dX \otimes dX + dY \otimes dY - dU \otimes dU - dV \otimes dV$$

Um exemplo

```
RN = Manifold(2, 'RN', ambient=M, latex_name='RN', structure='pseudo-Riemannian')
ChartRN.<t,r> = RN.chart(r"t:(-oo,oo):t r:(0,+oo):r")
a = var('a')
f(r) = function('f')(r)
g(r) = function('g')(r)
RN_to_M = RN.diff_map(M, {(ChartRN, ChartM): [(1+a^2*f)^(1/2)*sinh(g),
                                                a*(f)^(1/2)*cosh(t/a),
                                                a*(f)^(1/2)*sinh(t/a),
                                                (1+a^2*f)^(1/2)*cosh(g)]})
RN_to_M.display()
```

$$RN \longrightarrow M$$

$$(t, r) \longmapsto (X, Y, U, V) = \left(\sqrt{a^2 f(r) + 1} \sinh(g(r)), a \cosh\left(\frac{t}{a}\right) \sqrt{f(r)}, a \sqrt{f(r)} \sinh\left(\frac{t}{a}\right), \sqrt{a^2 f(r) + 1} \cosh(g(r)) \right)$$

Um exemplo

```

RN = Manifold(2, 'RN', ambient=M, latex_name='RN', structure='pseudo-Riemannian')
ChartRN.<t,r> = RN.chart(r"t:(-oo,oo):t r:(0,+oo):r")
a = var('a')
f(r) = function('f')(r)
g(r) = function('g')(r)
RN_to_M = RN.diff_map(M, {(ChartRN, ChartM): [(1+a^2*f)^(1/2)*sinh(g),
                                                a*(f)^(1/2)*cosh(t/a),
                                                a*(f)^(1/2)*sinh(t/a),
                                                (1+a^2*f)^(1/2)*cosh(g)]})

RN_to_M.display()

```

$$RN \longrightarrow M$$

$$(t, r) \longmapsto (X, Y, U, V) = \left(\sqrt{a^2 f(r) + 1} \sinh(g(r)), a \cosh\left(\frac{t}{a}\right) \sqrt{f(r)}, a \sqrt{f(r)} \sinh\left(\frac{t}{a}\right), \sqrt{a^2 f(r) + 1} \cosh(g(r)) \right)$$

```

RN.set_embedding(RN_to_M)
gRN = RN.induced_metric()
gRN.display()

```

$$\gamma = -f(r) dt \otimes dt + \left(\frac{a^2 \left(\frac{\partial f}{\partial r} \right)^2 + 4 \left(a^4 f(r)^3 + 2 a^2 f(r)^2 + f(r) \right) \left(\frac{\partial g}{\partial r} \right)^2}{4 \left(a^2 f(r)^2 + f(r) \right)} \right) dr \otimes dr$$

Um exemplo

- A métrica de Reissner-Nordström

Tomando-se a função f nesta construção como sendo

$$f(r) = 1 - \frac{2m}{r} + \frac{e^2}{r^2},$$

onde $m, e > 0$, temos que a métrica g é a métrica de Reissner-Nordström.

As raízes de f são dadas por

$$r_{\pm} = m \pm \sqrt{m^2 - e^2}.$$

Identificando-se os pontos p_I e p_+ com $(X, Y, U, V) = (0, 0, 0, 1)$ podemos analisar o limite $e \rightarrow m$ através dos mergulhos. As próximas imagens foram retiradas de [BHJ14].

Um exemplo

- A métrica de Reissner-Nordström

Tomando-se a função f nesta construção como sendo

$$f(r) = 1 - \frac{2m}{r} + \frac{e^2}{r^2},$$

onde $m, e > 0$, temos que a métrica g é a métrica de Reissner-Nordström.

As raízes de f são dadas por

$$r_{\pm} = m \pm \sqrt{m^2 - e^2}.$$

Identificando-se os pontos p_I e p_+ com $(X, Y, U, V) = (0, 0, 0, 1)$ podemos analisar o limite $e \rightarrow m$ através dos mergulhos. As próximas imagens foram retiradas de [BHJ14].

Um exemplo

- A métrica de Reissner-Nordström

Tomando-se a função f nesta construção como sendo

$$f(r) = 1 - \frac{2m}{r} + \frac{e^2}{r^2},$$

onde $m, e > 0$, temos que a métrica g é a métrica de Reissner-Nordström.

As raízes de f são dadas por

$$r_{\pm} = m \pm \sqrt{m^2 - e^2}.$$

Identificando-se os pontos p_l e p_+ com $(X, Y, U, V) = (0, 0, 0, 1)$ podemos analisar o limite $e \rightarrow m$ através dos mergulhos. As próximas imagens foram retiradas de [BHJ14].

Um exemplo

- A métrica de Reissner-Nordström

Tomando-se a função f nesta construção como sendo

$$f(r) = 1 - \frac{2m}{r} + \frac{e^2}{r^2},$$

onde $m, e > 0$, temos que a métrica g é a métrica de Reissner-Nordström.

As raízes de f são dadas por

$$r_{\pm} = m \pm \sqrt{m^2 - e^2}.$$

Identificando-se os pontos p_- e p_+ com $(X, Y, U, V) = (0, 0, 0, 1)$ podemos analisar o limite $e \rightarrow m$ através dos mergulhos. As próximas imagens foram retiradas de [BHJ14].

Um exemplo

- A métrica de Reissner-Nordström

Tomando-se a função f nesta construção como sendo

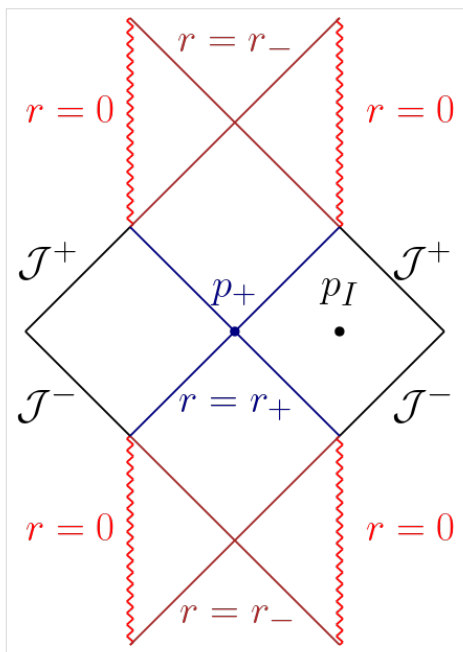
$$f(r) = 1 - \frac{2m}{r} + \frac{e^2}{r^2},$$

onde $m, e > 0$, temos que a métrica g é a métrica de Reissner-Nordström.

As raízes de f são dadas por

$$r_{\pm} = m \pm \sqrt{m^2 - e^2}.$$

Identificando-se os pontos p_I e p_+ com $(X, Y, U, V) = (0, 0, 0, 1)$ podemos analisar o limite $e \rightarrow m$ através dos mergulhos. As próximas imagens foram retiradas de [BHJ14].



Um exemplo

- A métrica de Reissner-Nordström

Tomando-se a função f nesta construção como sendo

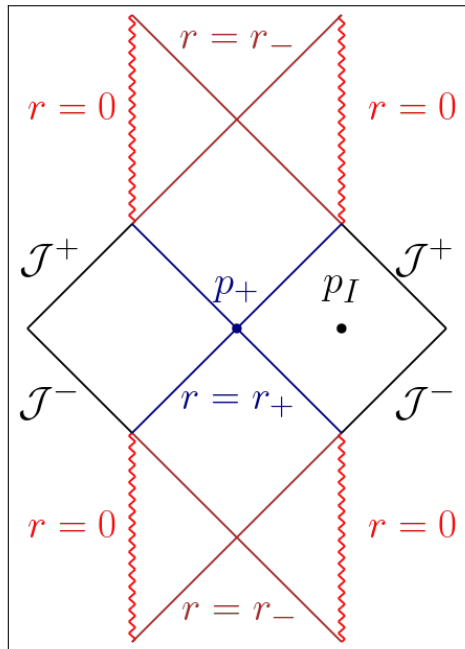
$$f(r) = 1 - \frac{2m}{r} + \frac{e^2}{r^2},$$

onde $m, e > 0$, temos que a métrica g é a métrica de Reissner-Nordström.

As raízes de f são dadas por

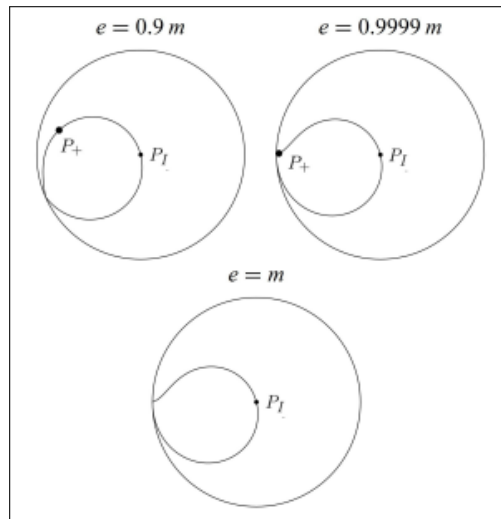
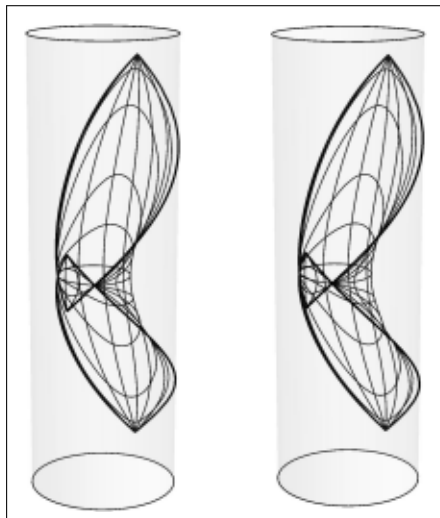
$$r_{\pm} = m \pm \sqrt{m^2 - e^2}.$$

Identificando-se os pontos p_I e p_+ com $(X, Y, U, V) = (0, 0, 0, 1)$ podemos analisar o limite $e \rightarrow m$ através dos mergulhos. As próximas imagens foram retiradas de [BHJ14].



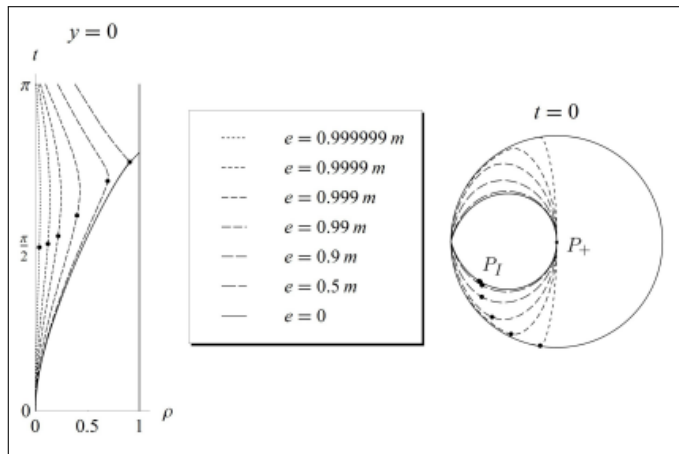
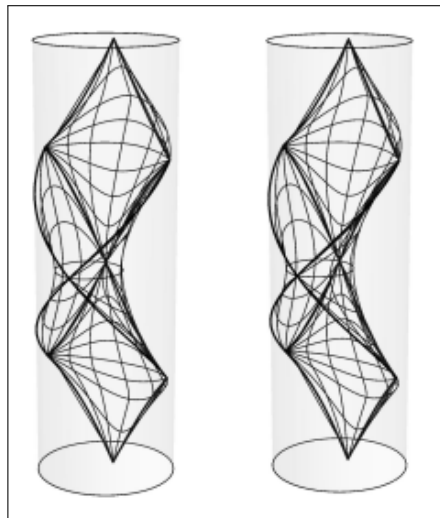
Um exemplo

Identificando-se p_I com $(X, Y, U, V) = (0, 0, 0, 1)$. (Reissner-Nordström extrema)



Um exemplo

Identificando-se p_+ com $(X, Y, U, V) = (0, 0, 0, 1)$. (Bertotti-Robinson)



Bibliografia

Bibliografia I

- [BC80] F. Bampi and R. Cianci, *Comments on limits of space-times*, Internat. J. Theoret. Phys. **19** (1980), no. 3, 211–215. MR575076
- [BHJ14] I. Bengtsson, S. Holst, and E. Jakobsson, *Classics illustrated: limits of spacetimes*, Classical Quantum Gravity **31** (2014), no. 20, 205008, 18. MR3270736
- [BP19] M. Bugden and C. F. Paganini, *The Λ to zero limit of spacetimes and its physical interpretation*, Classical Quantum Gravity **36** (2019), no. 4, 045003, 18. MR3919532
- [Fle16] S. C. Fletcher, *Similarity, topology, and physical significance in relativity theory*, British J. Philos. Sci. **67** (2016), no. 2, 365–389. MR3509976
- [Ger69] R. Geroch, *Limits of spacetimes*, Comm. Math. Phys. **13** (1969), 180–193. MR250643
- [Kas21] E. Kasner, *Geometrical Theorems on Einstein's Cosmological Equations*, Amer. J. Math. **43** (1921), no. 4, 217–221. MR1506447
- [Mal12] D. B. Malament, *Topics in the foundations of general relativity and Newtonian gravitation theory*, Chicago Lectures in Physics, University of Chicago Press, Chicago, IL, 2012. MR2963766
- [Spa66] E. H. Spanier, *Algebraic topology*, McGraw-Hill Book Co., New York-Toronto, Ont.-London, 1966. MR0210112